



AGH

AKADEMIA GÓRNICZO-HUTNICZA
IM. STANISŁAWA STASZICA W KRAKOWIE

Czyste energie

Wykład 2

Wprowadzenie do energetyki słonecznej i fotowoltaiki

dr inż. Janusz Teneta

C-3 pok. 8 (parter), e-mail: romus@agh.edu.pl

Wydział EAIiIB

Katedra Automatyki i Inżynierii Biomedycznej

AGH Kraków 2017

Energia słoneczna praźródłem innych źródeł energii



BIOMASA



BIOGAZ
ROLNICZY



HYDROENERGIA



ROPA I GAZ



WĘGIEL

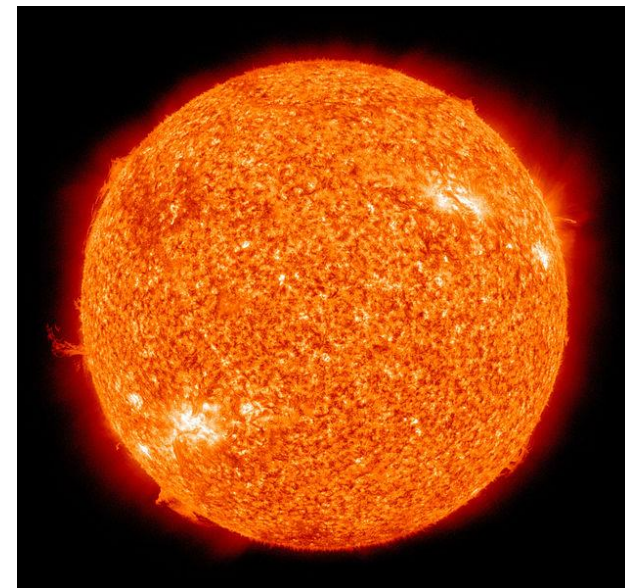


WIATR

Słońce

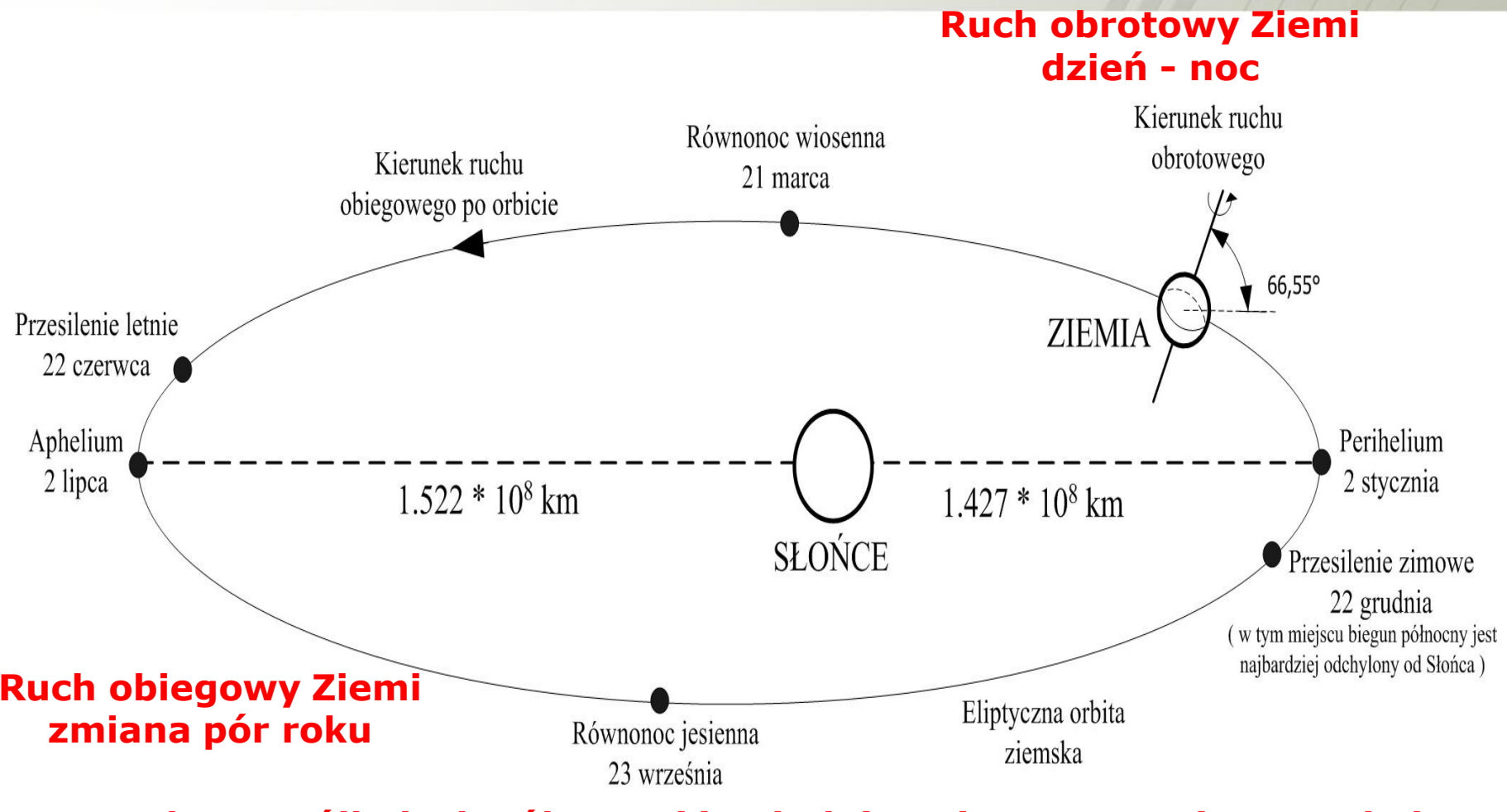
- Centralna gwiazda Układu Słonecznego, najjaśniejszy obiekt na niebie i główne źródło energii docierającej do Ziemi
- Kula zjonizowanego gazu o masie około $1,9891 \times 10^{30}$ kg (333 950 mas Ziemi)
- Średnica $1,392 \times 10^6$ km (109 średnic Ziemi)
- Szacowana temperatura jądra ok. $1,36 \times 10^7$ K
- Efektywna temperatura na powierzchni 5780 K
- Wiek Słońca szacowany na 4 600 000 000 lat
- Przemiany jądrowe: fuzja 4 atomów wodoru w jedno jądro helu + emisja energii 26,732 MeV (98% zabierają fotony, 2% neutrina)
- Moc promieniowania $3,827 \times 10^{26}$ W

źródło: www.wikipedia.pl



Geometria słoneczna

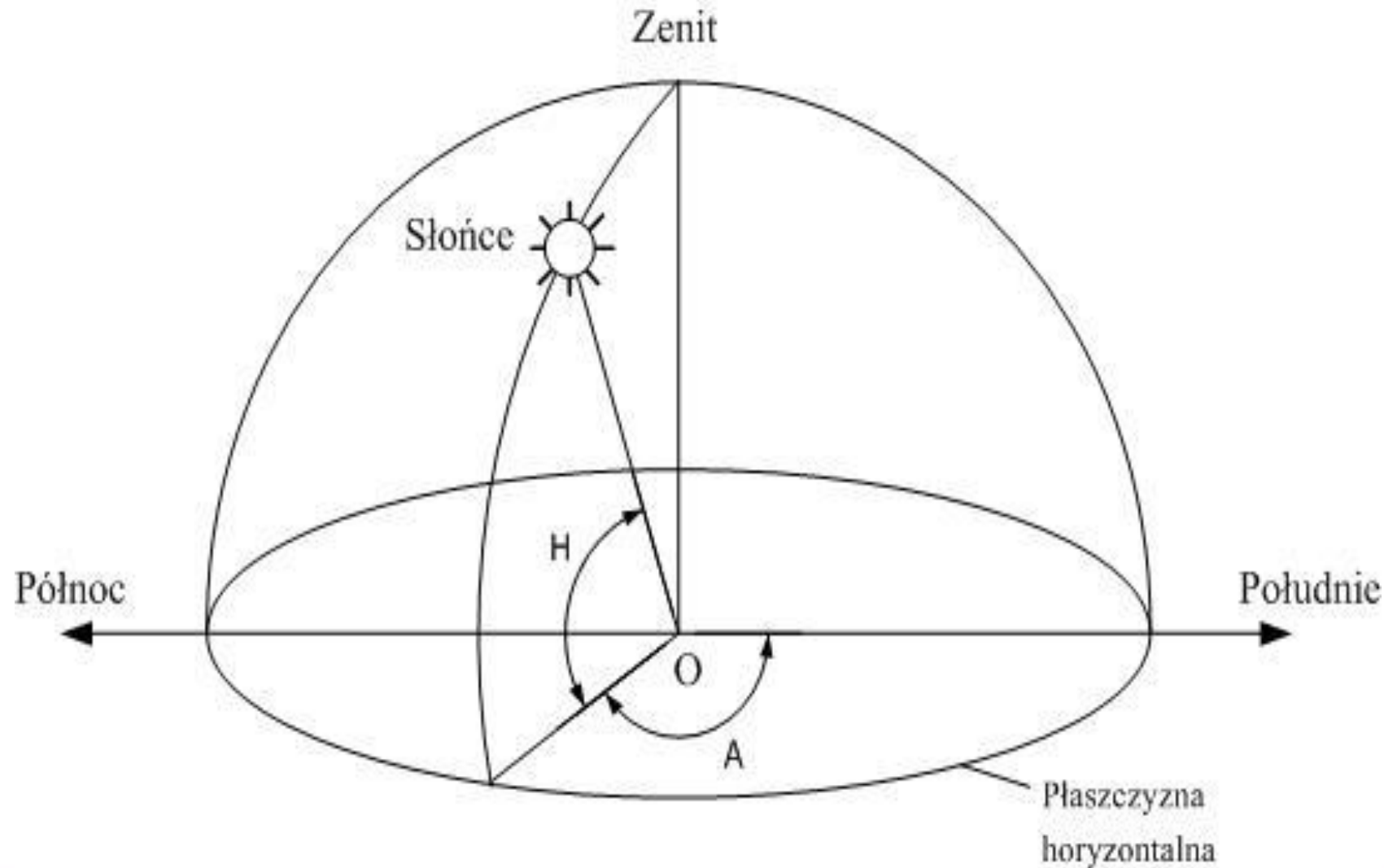
AGH



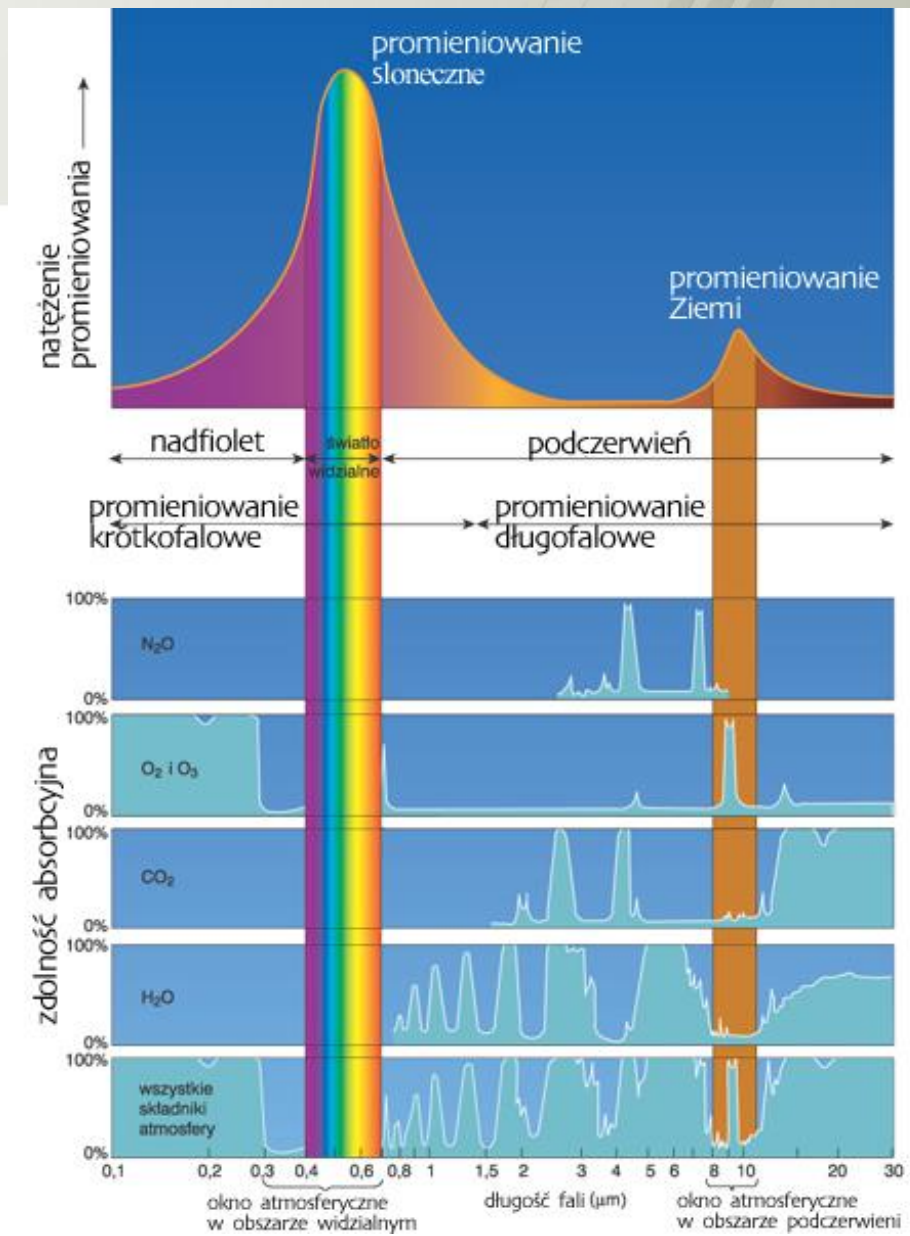
Stała słoneczna

- Całkowita energia, jaką promieniowanie słoneczne przenosi w jednostce czasu przez jednostkową powierzchnię ustawioną prostopadle do promieniowania w średniej odległości Ziemi od Słońca (1 j.a.) przed wejściem promieniowania do atmosfery (na wysokości ok. 100km nad powierzchnią Ziemi)
- Średnia wartość stałej słonecznej wynosi około $1366,1 \text{ W/m}^2$
- Wartość stałej słonecznej podlega zmianom zgodnie z cyklem aktywności Słońca (cykl 11 lat, zmiana ok. 0,1%) oraz z powodu ruchu obrotowego Słońca (cykl 27 dni, zmiana ok. 0,2%)
- Rzeczywista wartość energii strumienia promieniowania słonecznego ponad ziemską atmosferą zmienia się w granicach $1,32\text{-}1,41 \text{ kW/m}^2$ w cyklu rocznym (ruch obiegowy Ziemi wokół Słońca).

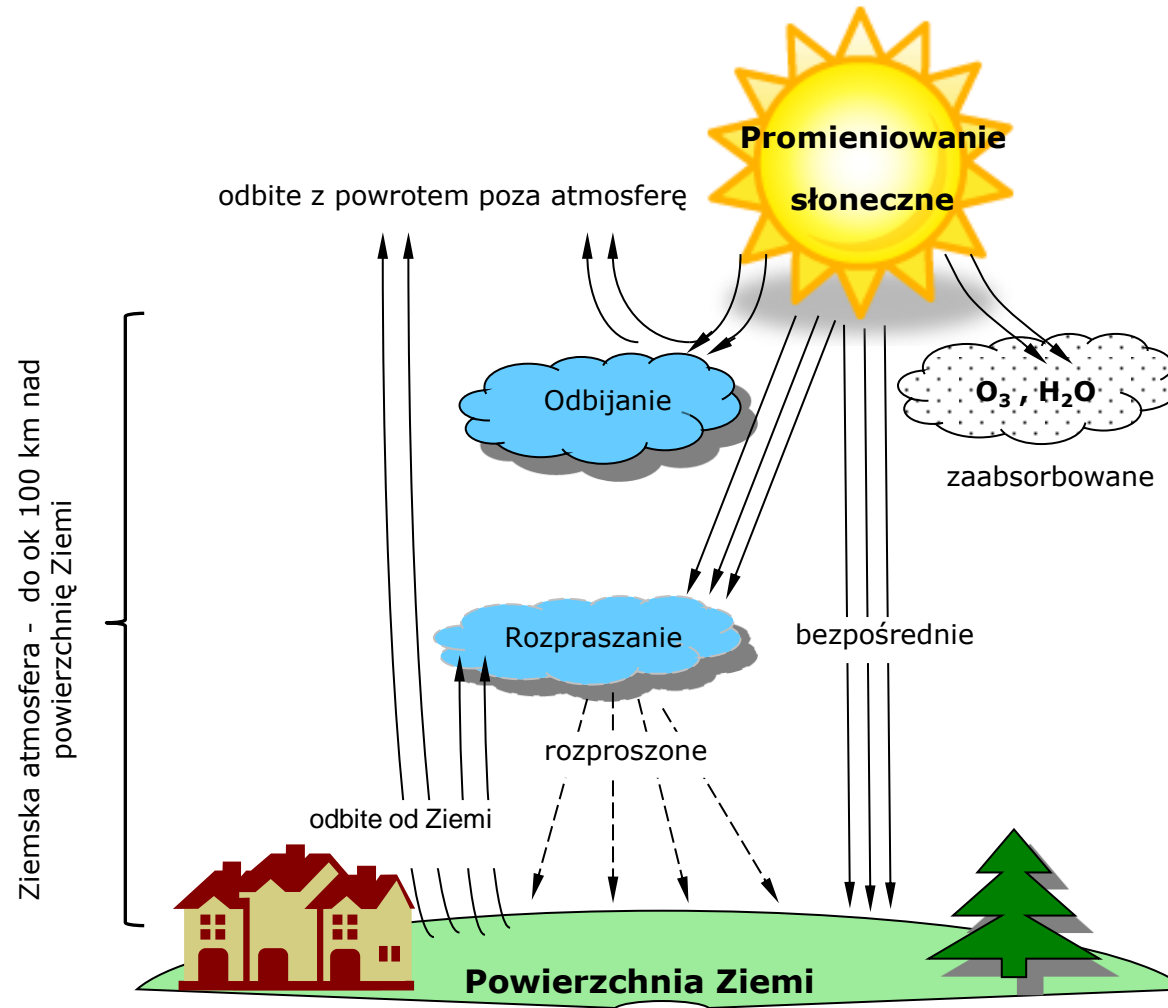
Azymut i elewacja Słońca



Widmo promieniowania słonecznego i zjawiska jego absorpcji w różnych składnikach ziemskiej atmosfery



Zjawiska w ziemskiej atmosferze



Struktura promieniowania słonecznego

Źródło: weather.uwaterloo.ca



- Bezpośrednie
- Rozproszone
- Odbite (współczynnik Albedo)
- Zaabsorbowane (emisja wtórna)

Droga promieni słonecznych przez atmosferę – współczynnik masy powietrza

AMm

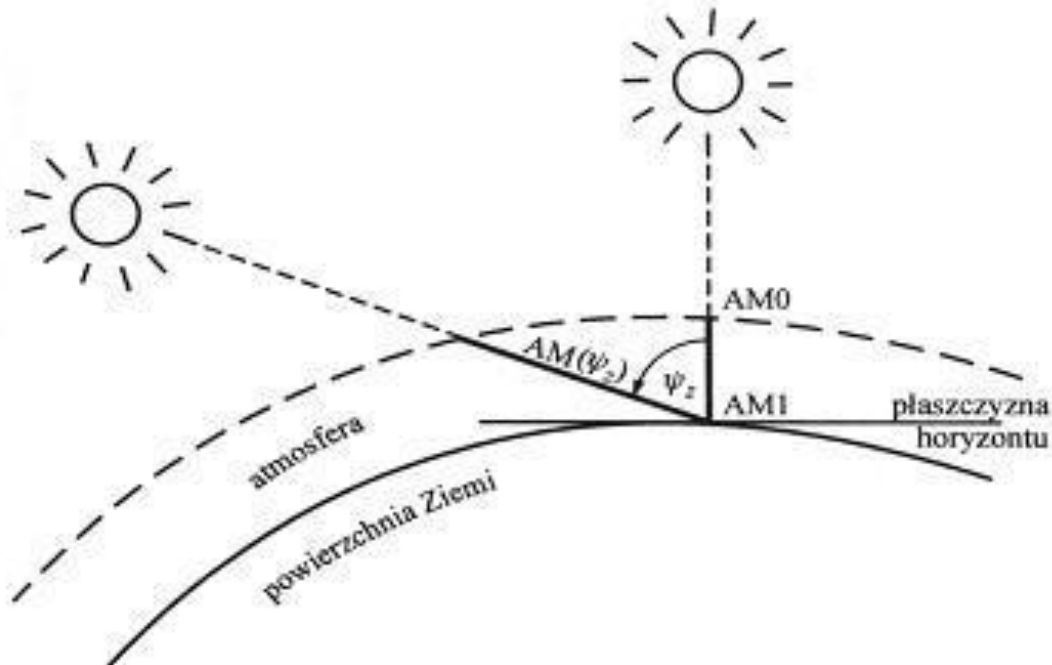
$$m = \frac{1}{\cos \psi} \quad \text{dla } \Psi < 70^\circ$$

lub

$$m = \left[\cos \psi + \frac{0,15}{(93,885 - \psi)^{1,253}} \right]^{-1} \frac{p}{p_0}$$

gdzie: p_0 – 1013 hPa
 p – rzeczywiste ciśnienie atmosferyczne [hPa]

dla $\Psi < 89^\circ$



Pomiary promieniowania słonecznego

Pyranometr (solarymetr), przyrząd do pomiaru całkowitego promieniowania słonecznego (promieniowanie w atmosferze ziemskiej) w zakresie 0,3–3 µm, padającego na poziomą płaszczyznę.



Główna częścią pyranometru jest czujnik w postaci termoelementu lub zespołu termoelementów (termostos), a pomiar polega na pomiarze powstającej w termoelementie siły elektromotorycznej, proporcjonalnej do natężenia padającego promieniowania. Czujnik jest osłonięty ekranem (zwykle szklana czasza) zatrzymującym promieniowanie o długości fali większej od 3 µm i chroniącym go od wpływu warunków zewnętrznych (wiatru, opadów).

Ogniwo wzorcowe ESTI (type) Sensor

- ESTI-Sensor (European Solar Test Installation) składa się z przepołowiejonej celi krzemowej. Zaciski jednej połowy są rozwarte, natomiast druga połowa zwarta jest przez obciążenie (20mOhm).
- Sensor mierzy natężenie promieniowania słonecznego pod napięciem 30mV, około sześciokrotnie wyższym niż na pyranometrze.
- Promieniowanie jest proporcjonalne do prądu zwarciowego w pierwszej połówce sensora, natomiast temperatura jest proporcjonalna do napięcia układu otwartego drugiej połowy.



Zastosowanie:

- Monitorowanie instalacji fotowoltaicznych wykonanych z takiego samego materiału co sensor.
- Mierzenie temperatury wewnętrznej modułu, co pozwala na określenie charakterystyk względem warunków nominalnych (STC – Standard Test Condition)

Pomiar promieniowania rozproszzonego

Układy przesłonowe



Pierścień K&Z



Tracker K&Z



AGH

Tracker promieniowania słonecznego





AGH

Monitoring pogodowy

➤ **Minimum**

- Całkowite promieniowanie słoneczne w płaszczyźnie horyzontalnej
- Temperatura otoczenia

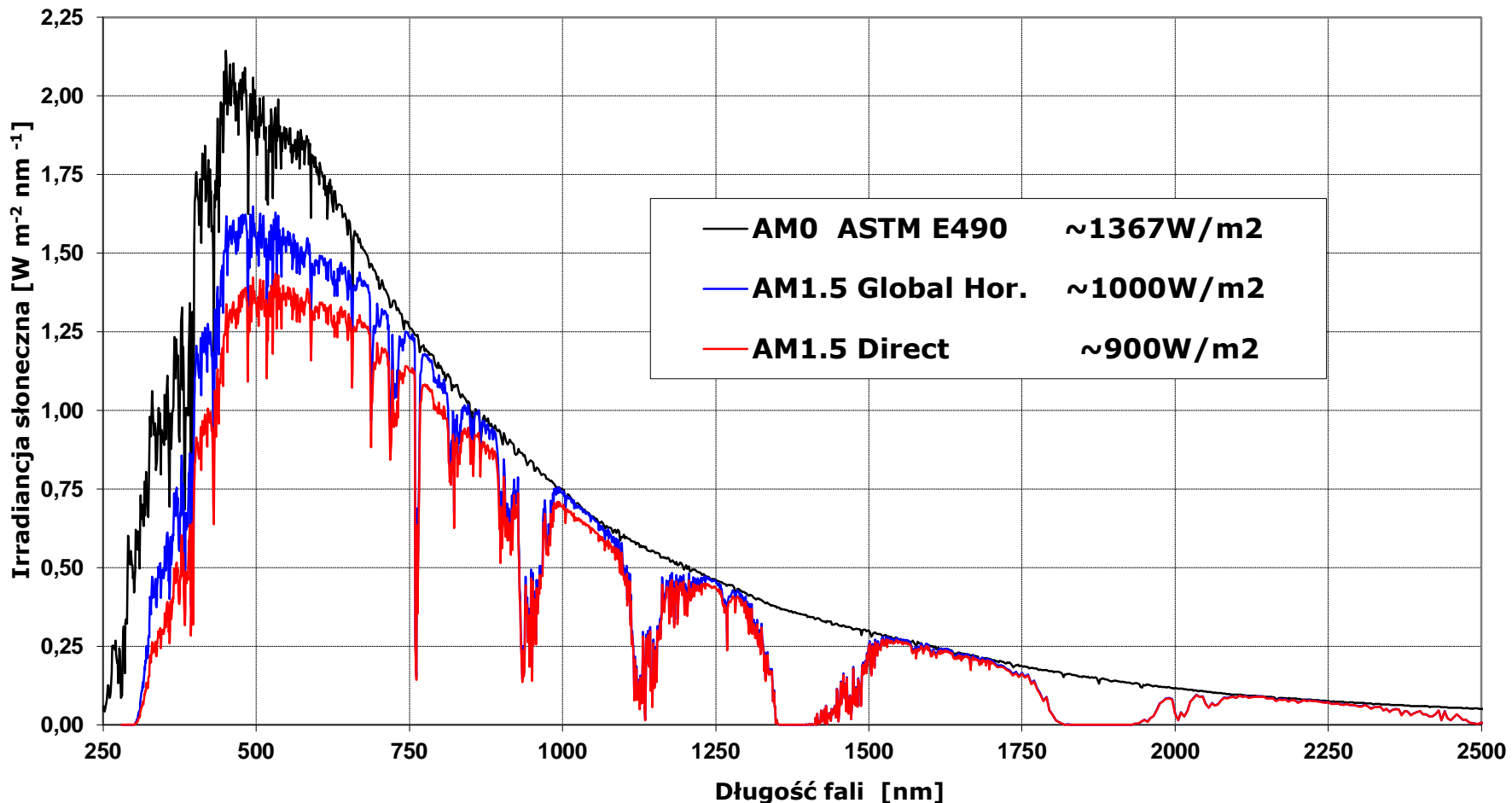
➤ **Optimum**

- Całkowite promieniowanie słoneczne w płaszczyźnie horyzontalnej
- Rozproszone promieniowanie słoneczne w płaszczyźnie horyzontalnej
- Całkowite promieniowanie słoneczne w płaszczyźnie modułów PV
- Temperatura otoczenia (powietrza)
- Temperatura modułów PV
- Ciśnienie atmosferyczne
- Wilgotność powietrza

Pomiary zwykle co 1 sek. a uśrednianie/rejestrację danych pomiarowych przeprowadza się z krokiem czasowym nie większym niż 1 godzina (można spotkać pliki źródłowe z danymi co 5, 15 lub 30 minut).

Widmo promieniowania słonecznego

ASTM G173-03 Referencyjne spektrum słoneczne ISO 9845-1 1992



Energia słoneczna



Właściwie o jakich ilościach
dostępnej energii
słonecznej mówimy?





AGH

Potencjał OZE na Ziemi

Źródło: Wikipedia, Energy flow charts . Global Climate & Energy Project.



0,018%

1,7%

47%

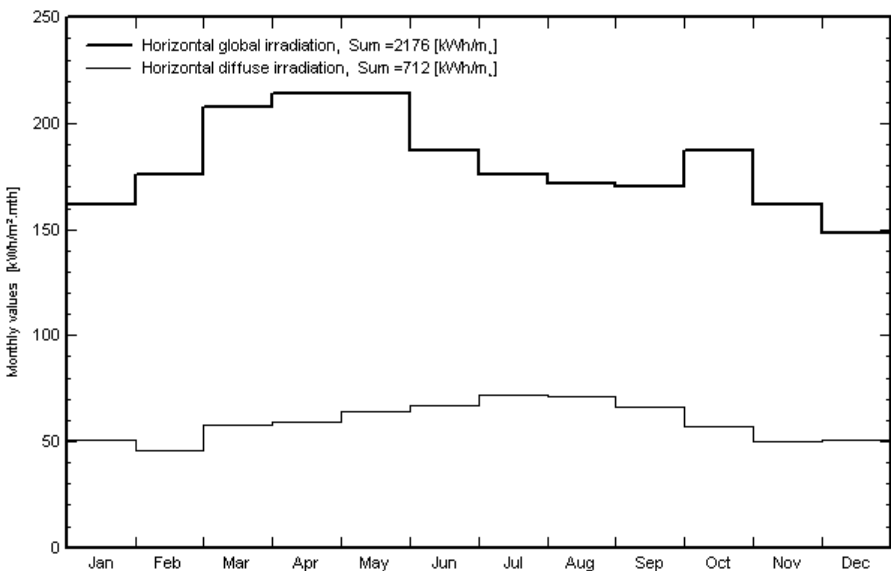
208%

Dostępna energia słoneczna [kWh/m²/rok]

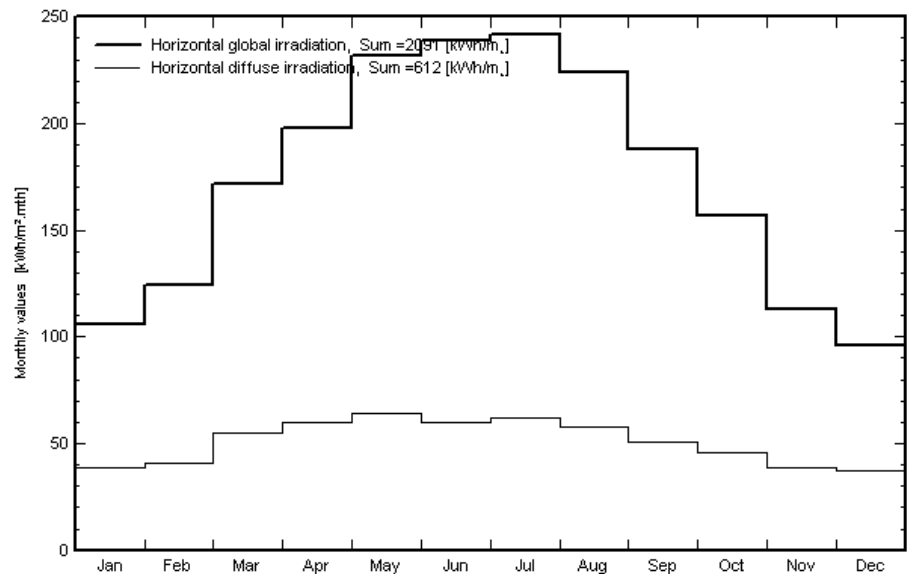
Dakar 2176

Kair 2091

Meteo for Dakar, Synthetic data



Meteo for Cairo, Synthetic data



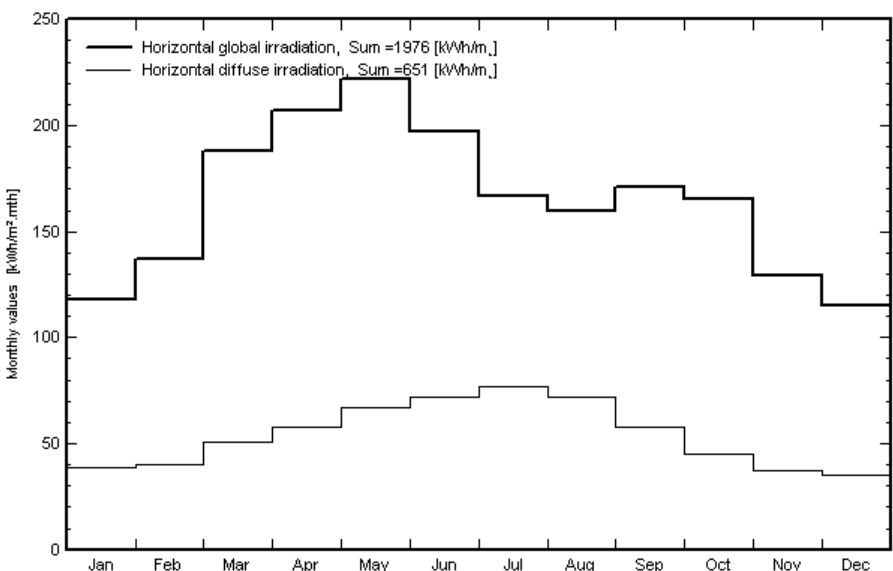
Źródło: PVsyst (Meteonorm)

Dostępna energia słoneczna [kWh/m²/rok]

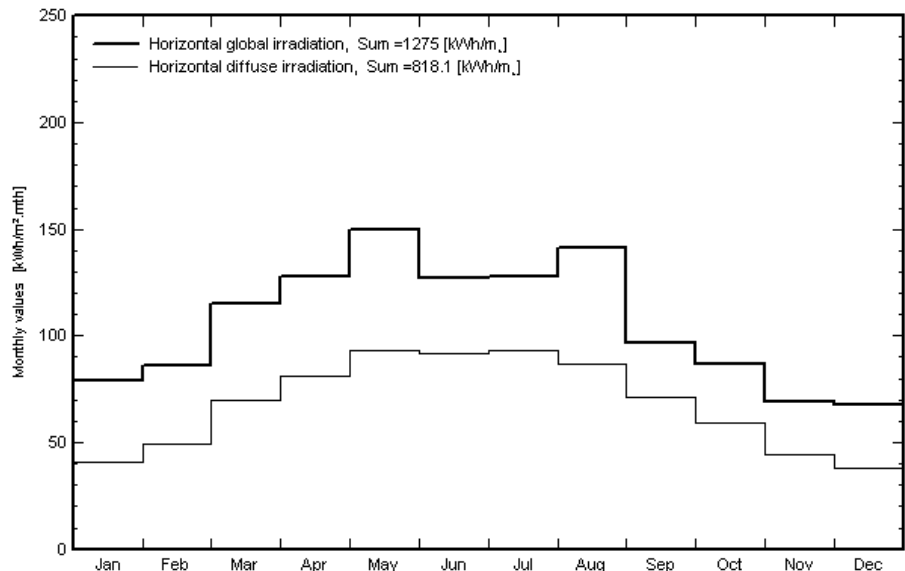
Delhi 1976

Tokyo 1275

Meteo for Delhi, Synthetic data



Meteo for Tokyo, Synthetic data



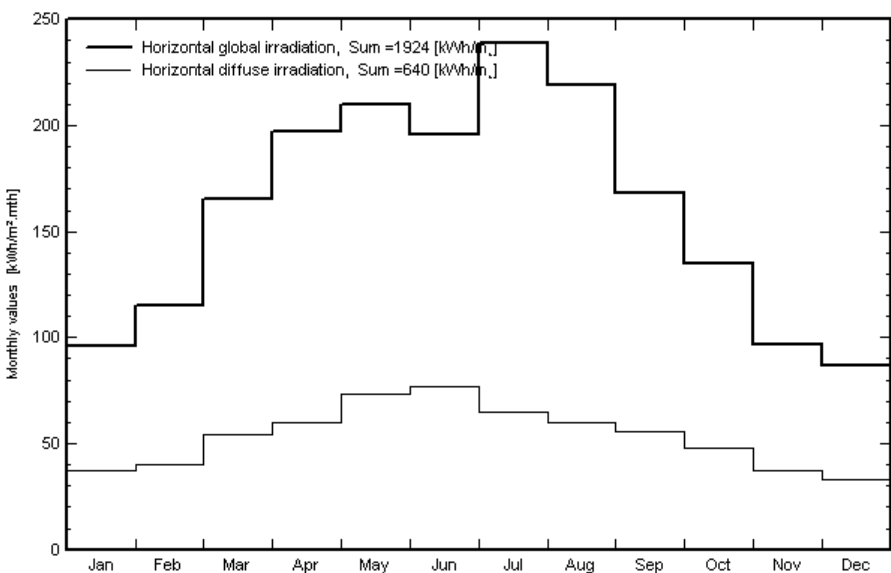
Źródło: PVsyst (Meteonorm)

Dostępna energia słoneczna [kWh/m²/rok]

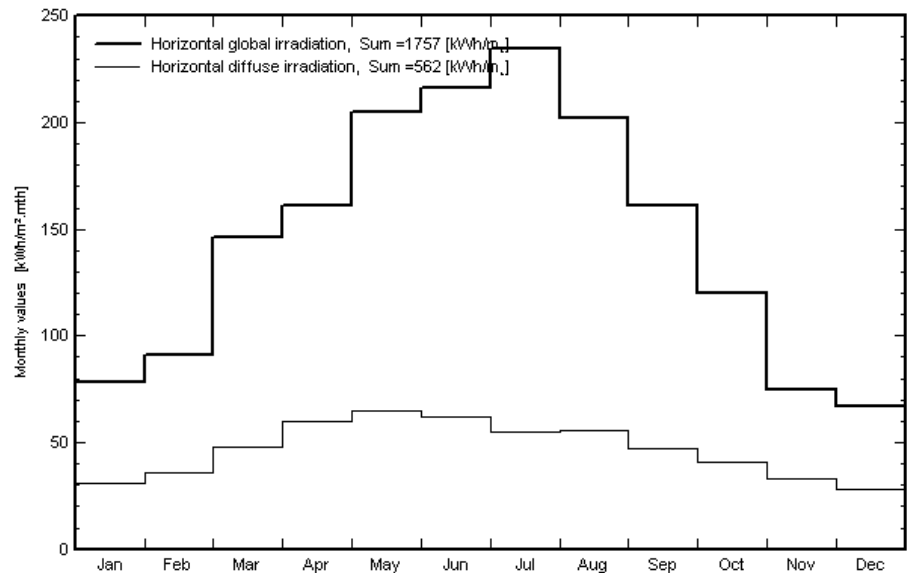
Los Angeles 1924

Sevilla 1757

Meteo for Los Angeles, Synthetic data



Meteo for Sevilla, Synthetic data



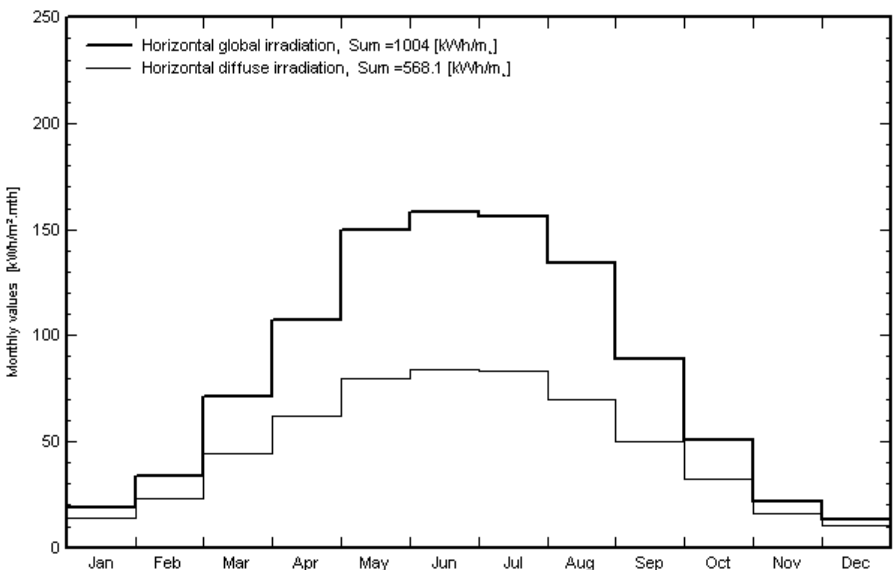
Źródło: PVsyst (Meteonorm)

Dostępna energia słoneczna [kWh/m²/rok]

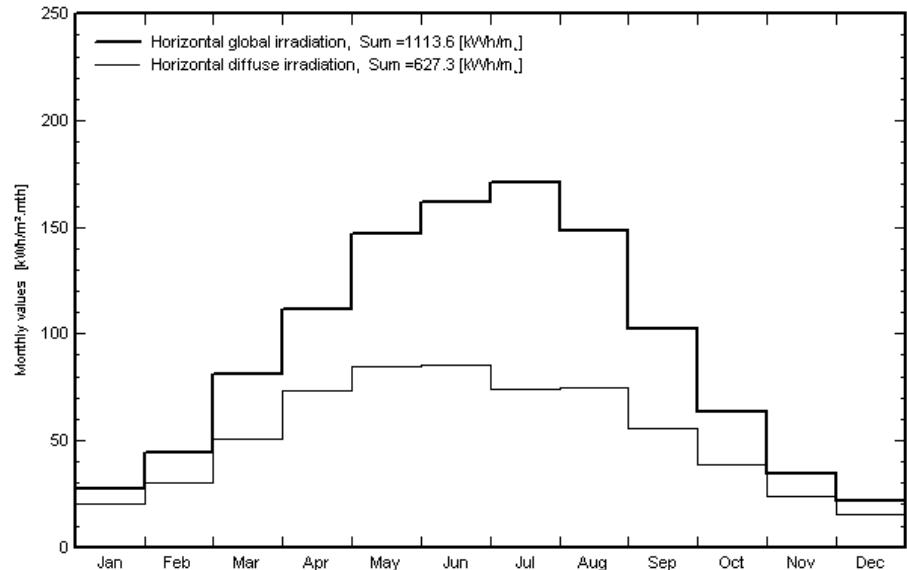
Berlin 1004

Freiburg 1113

Meteo for Berlin, Synthetic data



Meteo for Freiburg, Synthetic data



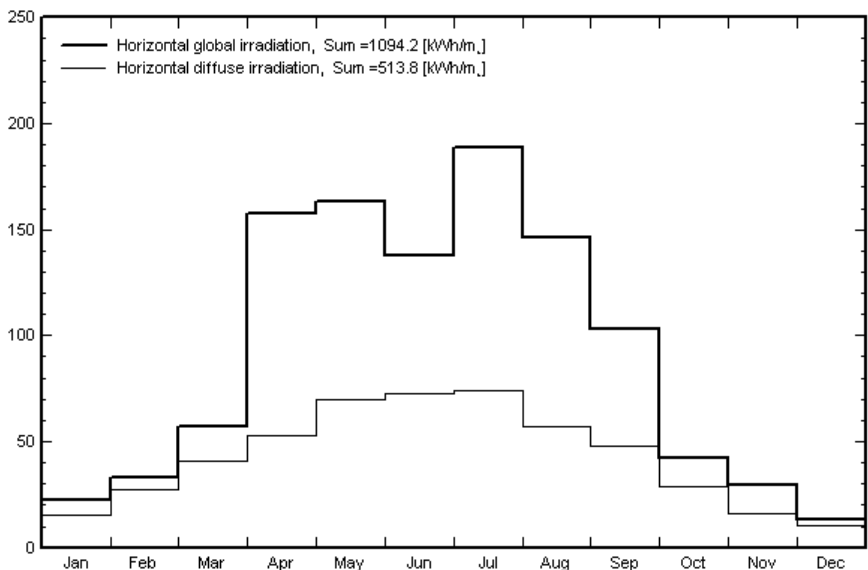
Źródło: PVsyst (Meteonorm)

Dostępna energia słoneczna [kWh/m²/rok]

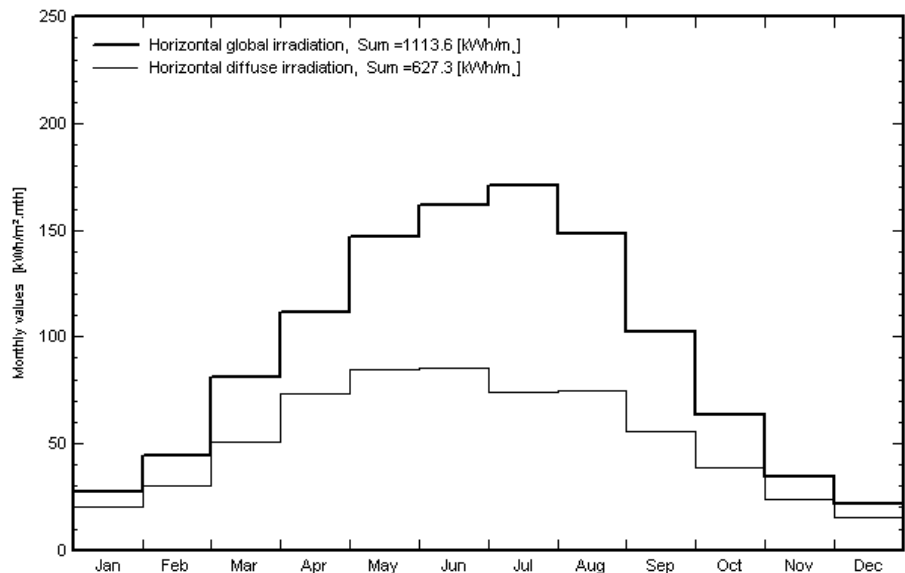
Kraków 1094

Freiburg 1113

Meteo for Krakow, Data recorded from 01/01/09 to 31/12/09

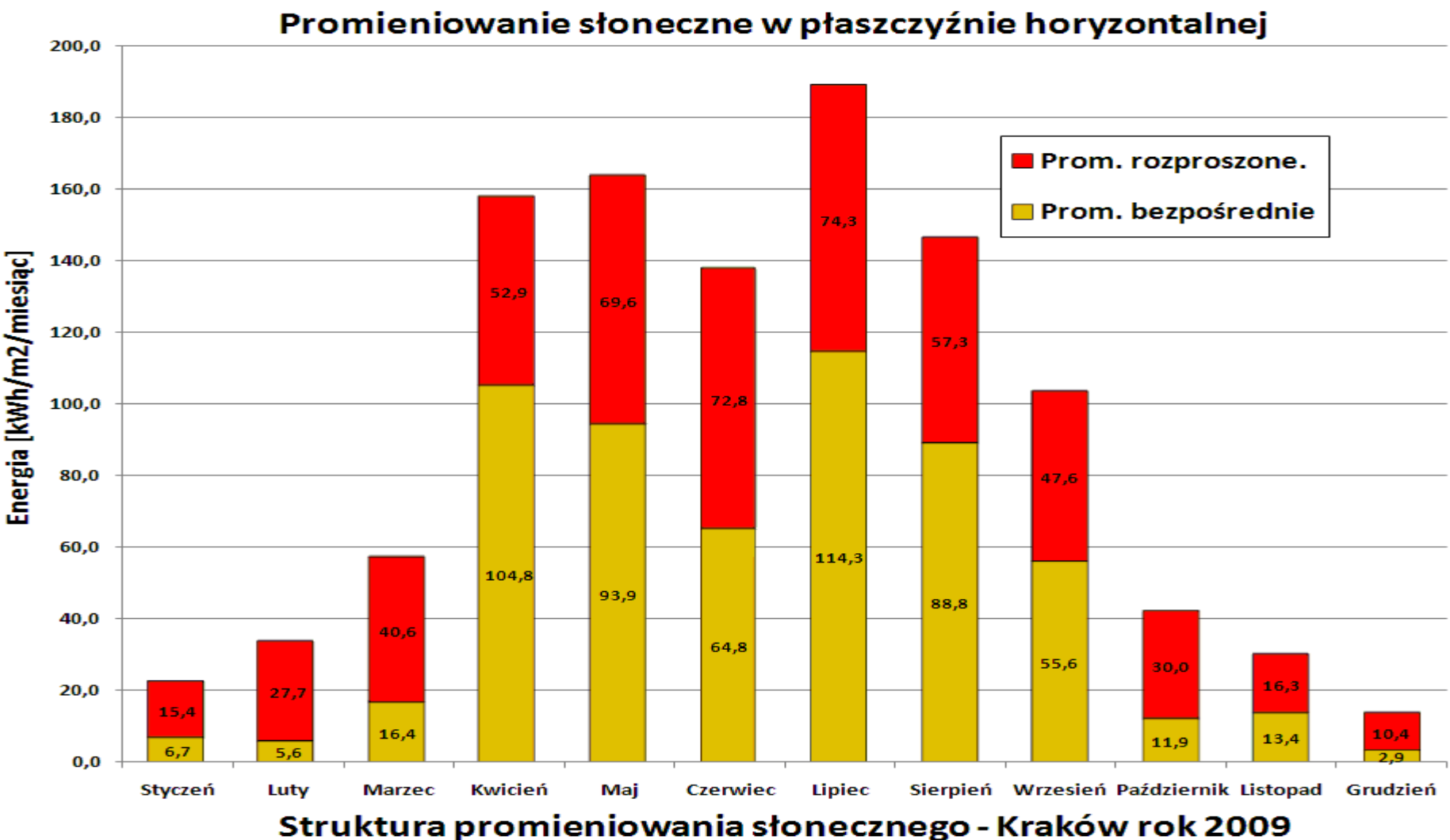


Meteo for Freiburg, Synthetic data

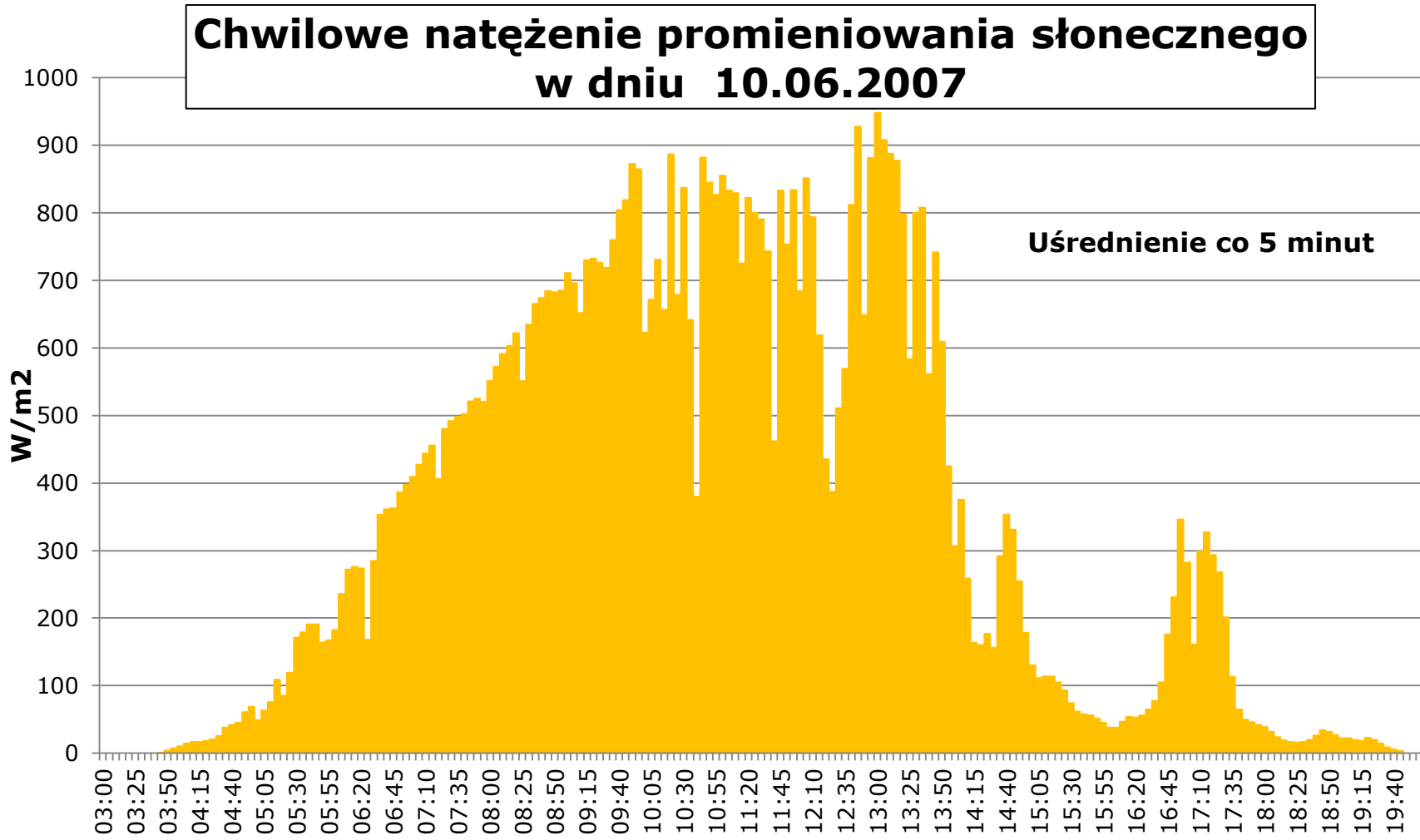


Źródło: PVsyst (Meteonorm)

Struktura promieniowania słonecznego - pomiary



Promieniowanie słoneczne w ciągu dnia

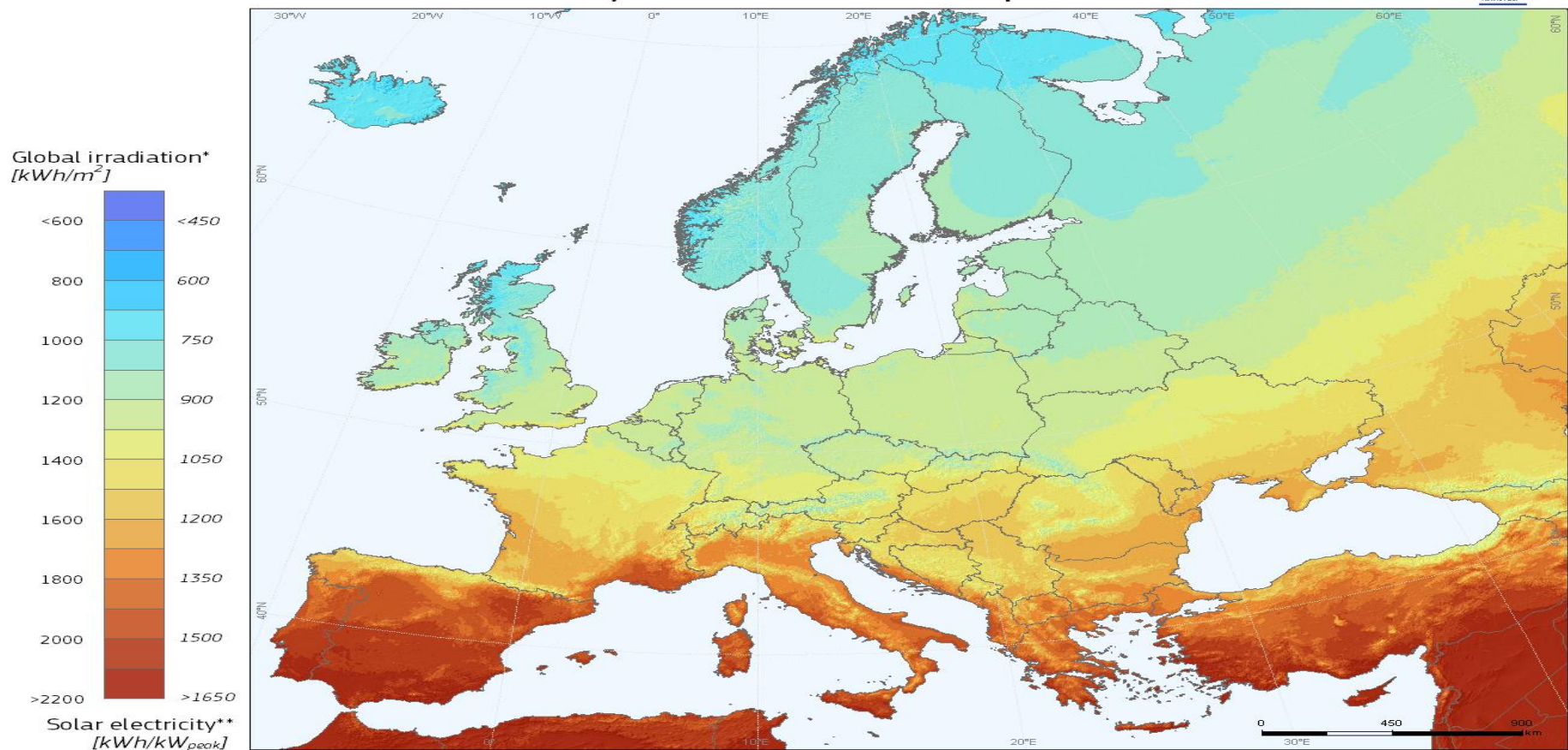




AGH

Potencjał PV w Europie

Photovoltaic Solar Electricity Potential in European Countries



* Yearly sum of global irradiation incident on optimally-inclined south-oriented photovoltaic modules

**Yearly sum of solar electricity generated by optimally-inclined 1kW_p system with a performance ratio of 0.75

© European Union, 2012
PVGIS <http://re.jrc.ec.europa.eu/pvgis/>

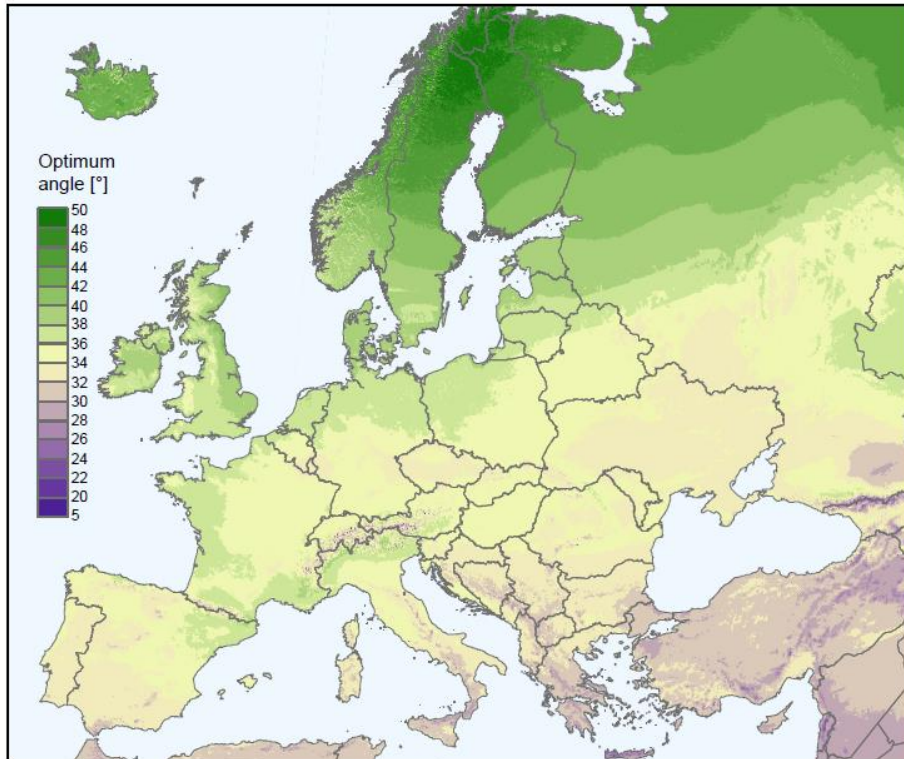
Legal notice: Neither the European Commission nor any person acting on behalf of the Commission is responsible for the use which might be made of this publication



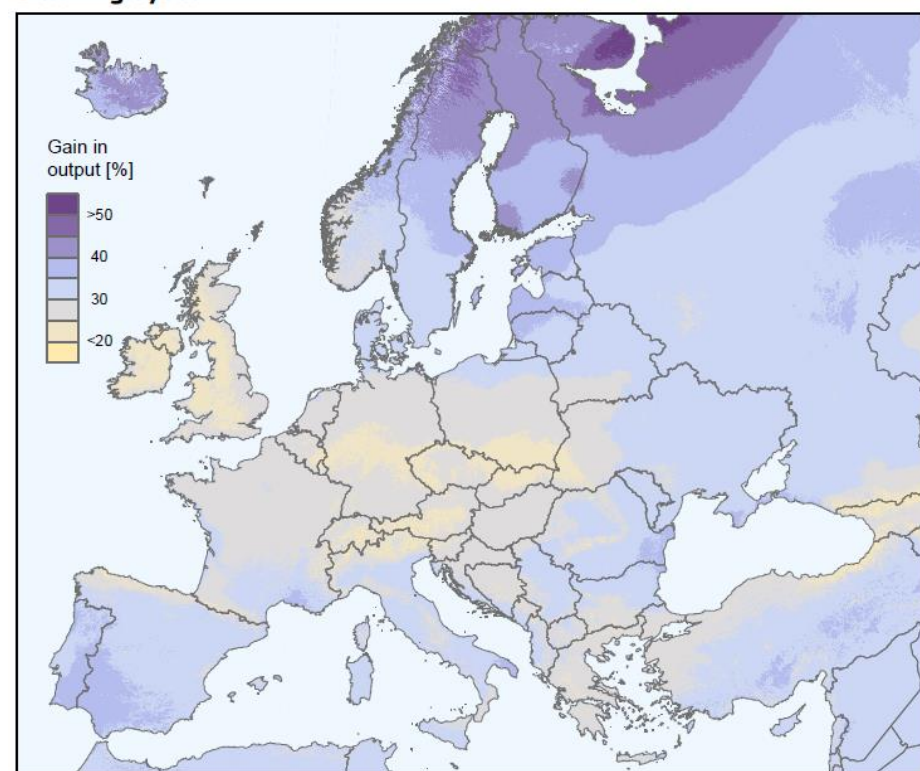
AGH

Potencjał PV w Europie

Optimum inclination of PV modules to maximize yearly energy yield



PV output: difference between fixed optimum angle and one-axis tracking system



© European Union, 2012
PVGIS <http://re.jrc.ec.europa.eu/pvgis/>

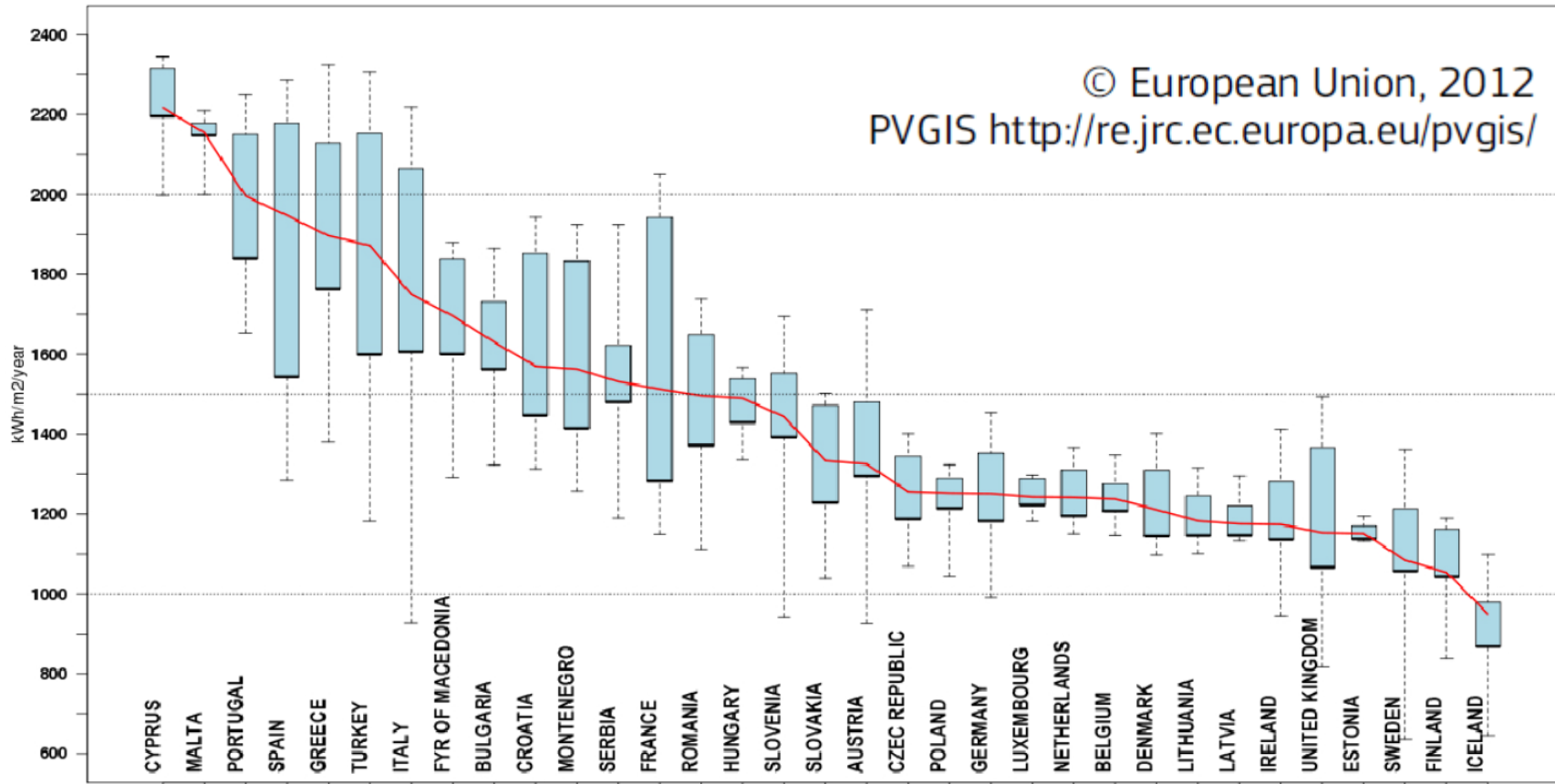
Authors:
Thomas Huld, Irene Pinedo-Pascua
European Commission - Joint Research Centre
Institute for Energy and Transport, Renewable Energy Unit
TP 450 I-21027 Ispra (VA) Italy

In collaboration with:
 **CM SAF**
Climate Monitoring
www.cmsaf.eu



AGH

Potencjał energii słonecznej na optymalnie pochylonej powierzchni w warunkach miejskich



Data description:

The PVGIS database has been developed from solar radiation data estimated from satellite using the CMSAF models (www.cmsaf.eu), representing the period 1996–2011. In areas north of 58°N the data are derived from ground stations measurements collected within the European Solar Radiation Atlas and interpolated spatially. For more details, see: <http://re.jrc.ec.europa.eu/pvgis/cmsaf/mapinfo.htm>

Grid resolution (enhanced by terrain): 1km x 1km

Map projection: Lambert Azimutal Equal Area, WGS84, lat 52° lon 10°

Authors:

Thomas Huld, Irene Pinedo-Pascua
European Commission • Joint Research Centre
Institute for Energy and Transport, Renewable Energy Unit
TP 450 I-21027 Ispra (VA) Italy

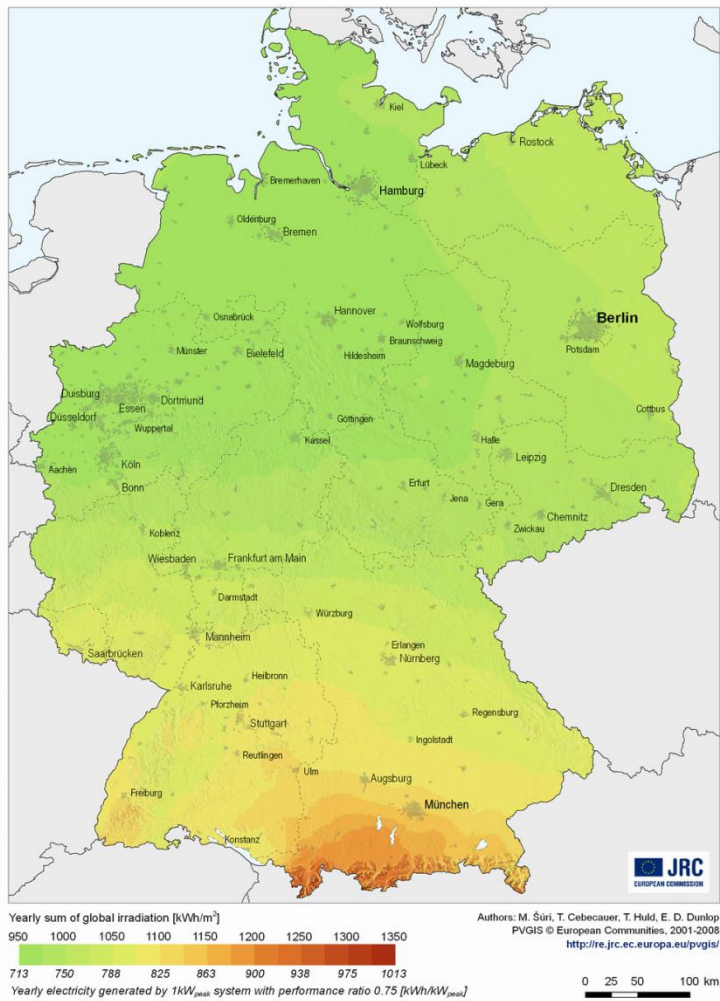
In collaboration with:



www.cmsaf.eu

Nasłonecznienie w Niemczech i w Polsce

Global irradiation and solar electricity potential
Horizontally mounted photovoltaic modules

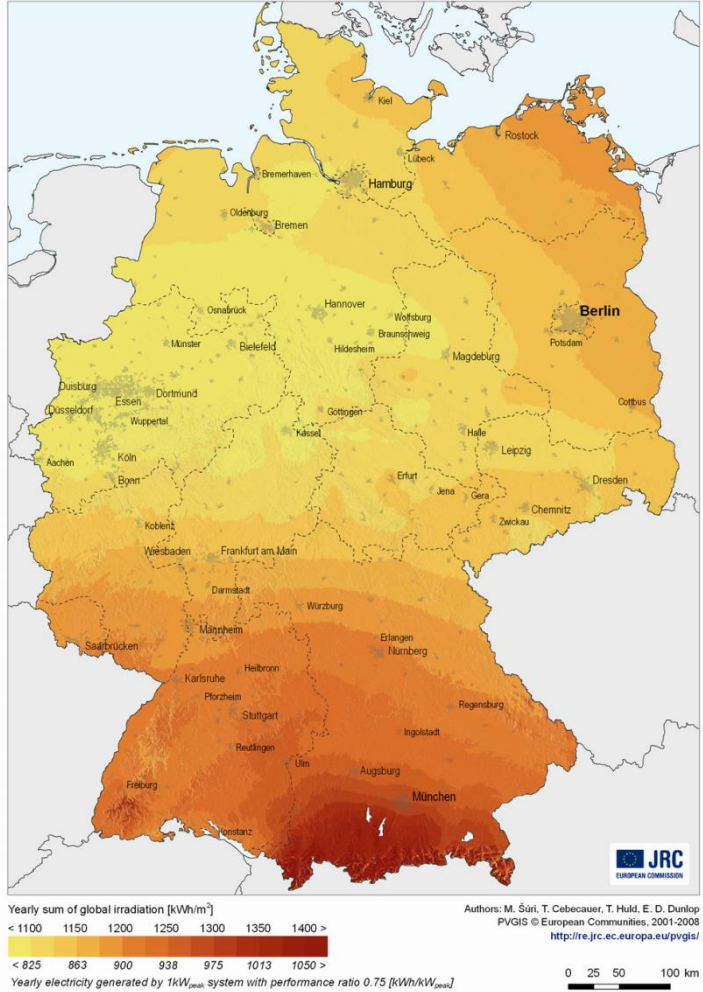


Global irradiation and solar electricity potential
Horizontally mounted photovoltaic modules

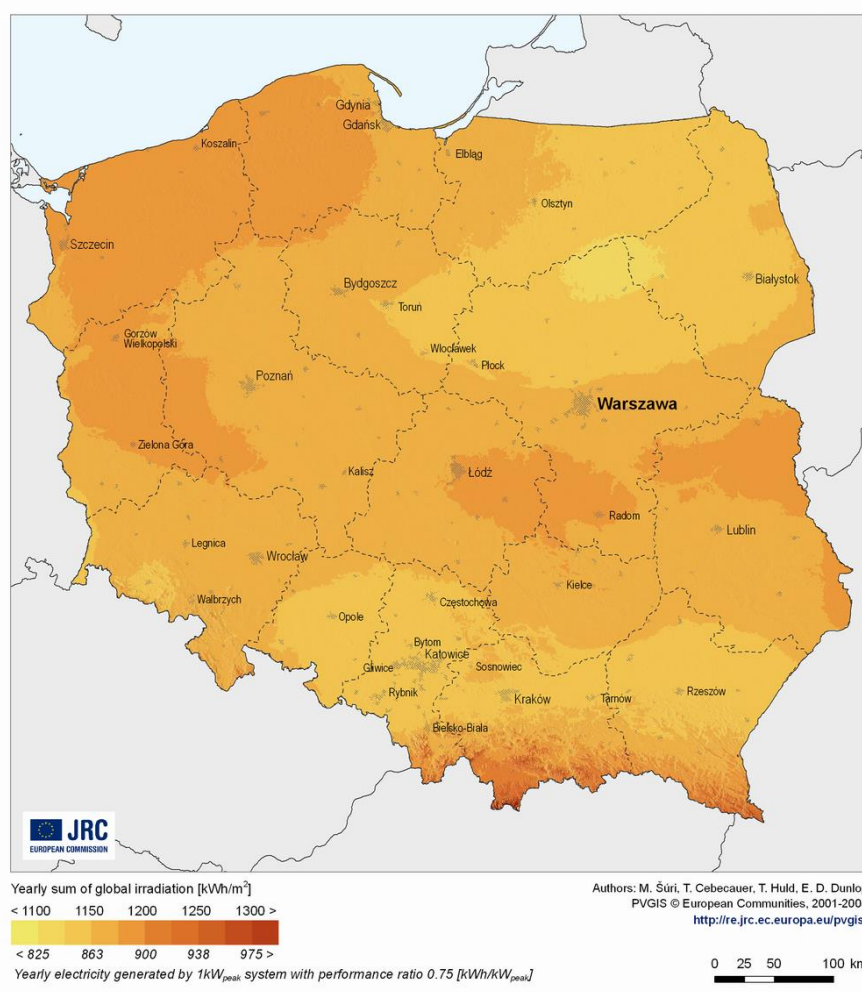


Potencjał produkcji energii z PV w Niemczech i w Polsce

Global irradiation and solar electricity potential
Optimally-inclined photovoltaic modules

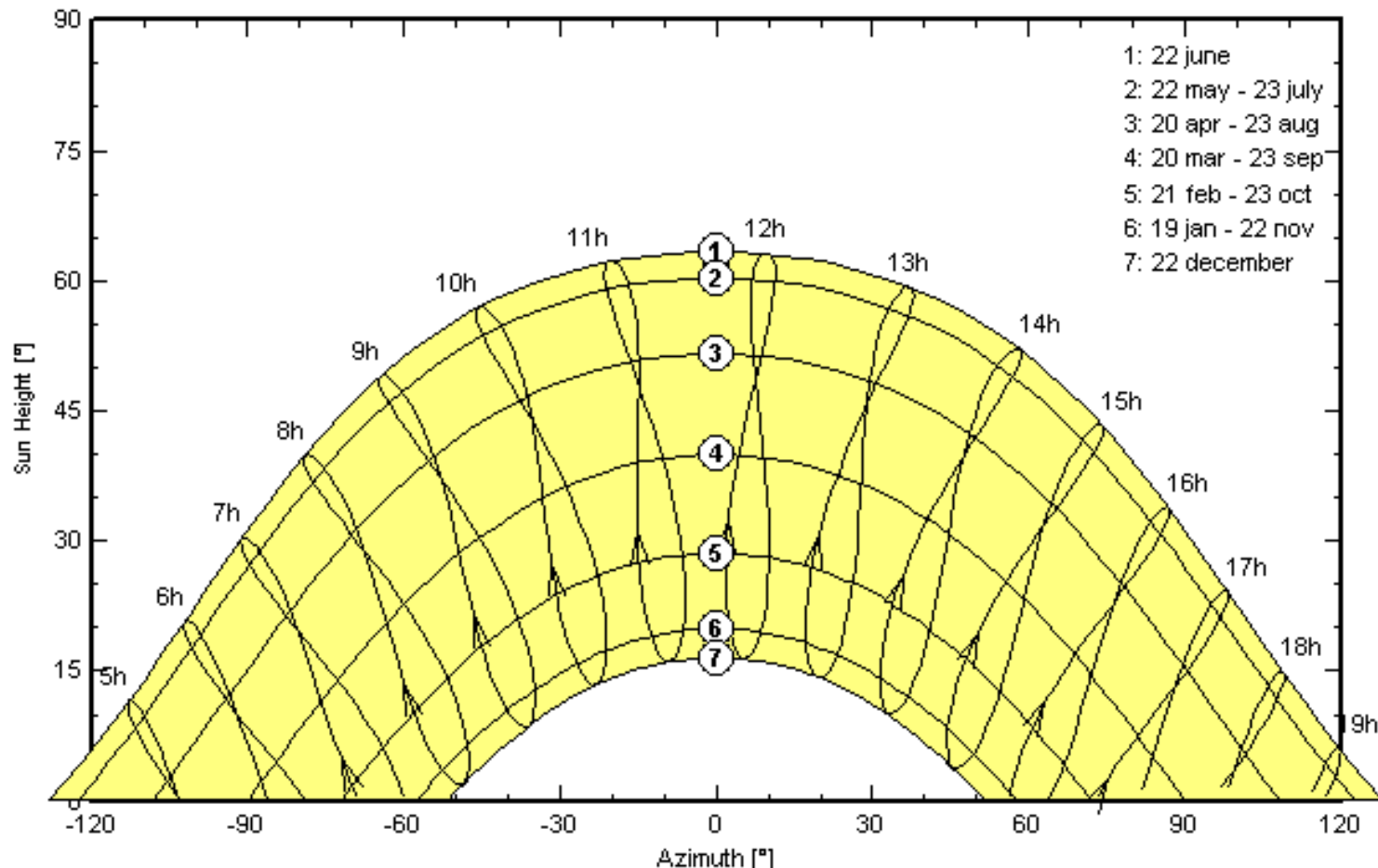


Global irradiation and solar electricity potential
Optimally-inclined photovoltaic modules



Trajektorie słoneczne widziane z Krakowa

Solar paths at Krakow, (Lat. 50.1°N , long. 20.1°E , alt. 214 m)



Wpływ montażu paneli PV na dostępność energii słonecznej

Transposition Factors for Krakow (Poland)

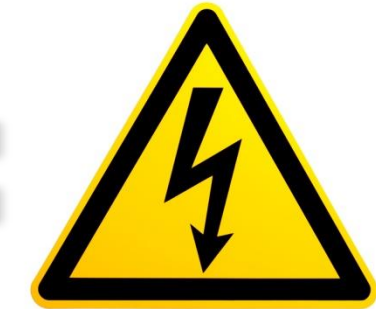
Period : Whole year --- Horizontal Global Irrad. = 1044 kWh/m₂

Azimuth Tilt	-90°	-75°	-60°	-45°	-30°	-15°	0°	15°	30°	45°	60°	75°	90°
90°	0.61	0.65	0.70	0.73	0.75	0.76	0.76	0.76	0.75	0.73	0.70	0.66	0.61
80°	0.67	0.73	0.78	0.82	0.85	0.86	0.87	0.86	0.85	0.82	0.79	0.74	0.68
70°	0.74	0.80	0.85	0.90	0.93	0.95	0.95	0.95	0.93	0.90	0.86	0.81	0.75
60°	0.80	0.86	0.92	0.96	1.00	1.02	1.03	1.02	1.00	0.97	0.92	0.87	0.81
50°	0.85	0.91	0.97	1.01	1.05	1.07	1.08	1.07	1.05	1.02	0.97	0.92	0.86
40°	0.90	0.96	1.01	1.05	1.08	1.10	1.11	1.10	1.08	1.05	1.01	0.96	0.90
30°	0.94	0.99	1.03	1.06	1.09	1.11	1.11	1.11	1.09	1.07	1.03	0.99	0.94
20°	0.97	1.00	1.03	1.06	1.08	1.09	1.10	1.09	1.08	1.06	1.04	1.01	0.97
10°	0.99	1.01	1.02	1.04	1.05	1.06	1.06	1.06	1.05	1.04	1.03	1.01	0.99
0°	1.00	1.00	1.00	1.00	1.00	1.00	1.00	1.00	1.00	1.00	1.00	1.00	1.00

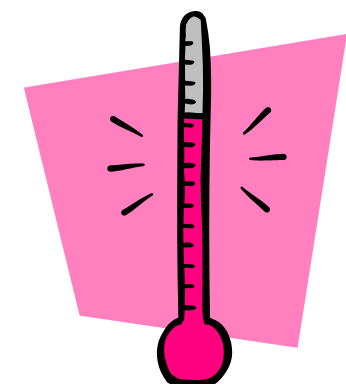
- Tracking planes :**
- Tracking two axes : TF = 1.38 (124 % of fixed plane's optimum)
 - East-West horizontal axis : TF = 1.17 (105 % of fixed plane's optimum)
 - N-S axis, Tilt = Lat. - 10° : TF = 1.35 (121 % of fixed plane's optimum)
 - N-S axis, Tilt = Latitude : TF = 1.33 (120 % of fixed plane's optimum)

Sposoby przetwarzania energii słonecznej

Bateria słoneczna (panel fotowoltaiczny)

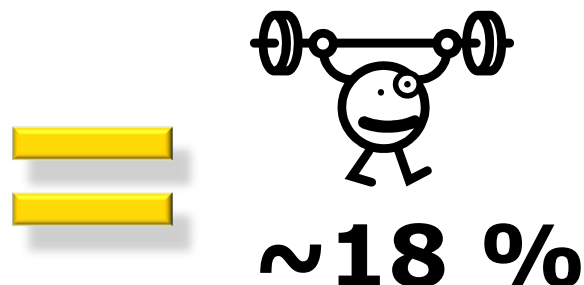
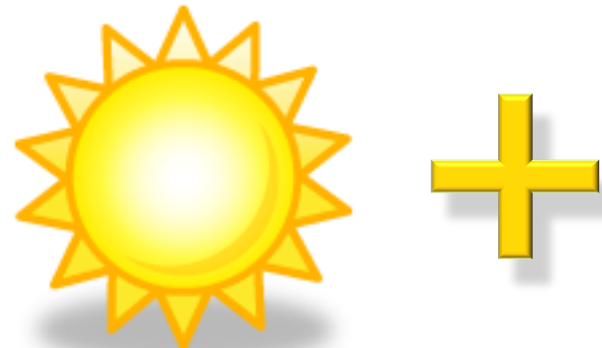


Kolektor słoneczny



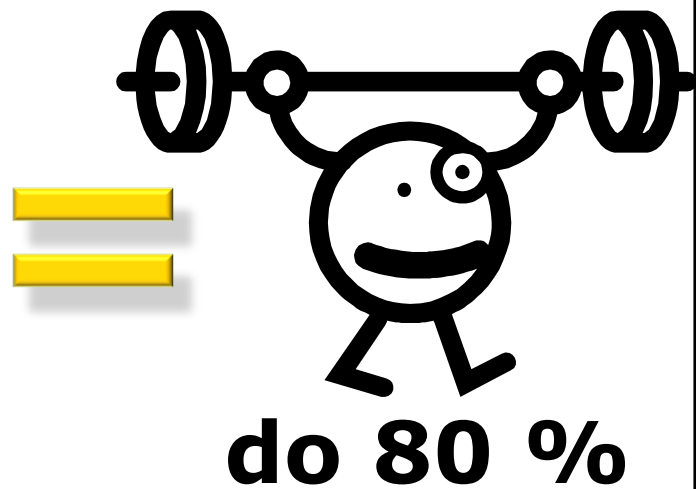
Sprawność przetwarzania energii słonecznej

Bateria słoneczna (panel fotowoltaiczny)



~18 %

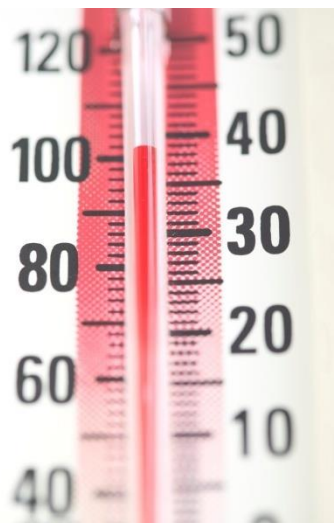
Kolektor słoneczny



do 80 %

Wrażliwość na wzrost temperatury

Bateria słoneczna (panel fotowoltaiczny)

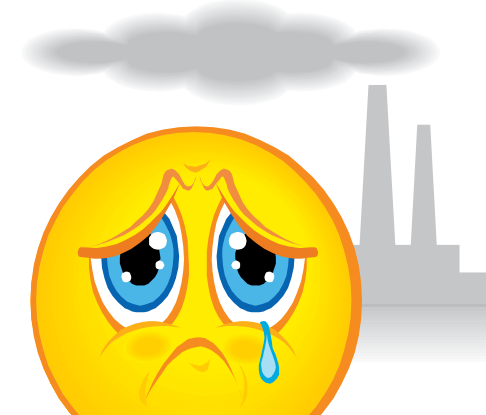
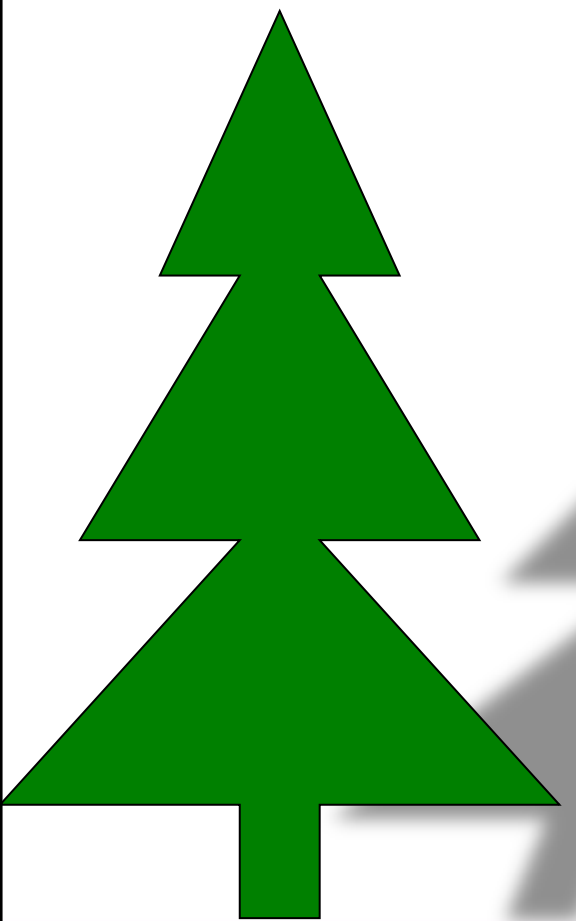


Kolektor słoneczny



Wrażliwość na zacienienie (nawet częściowe)

Bateria słoneczna
(panel fotowoltaiczny)





AGH

Moduł TWIN (PV +Termo)



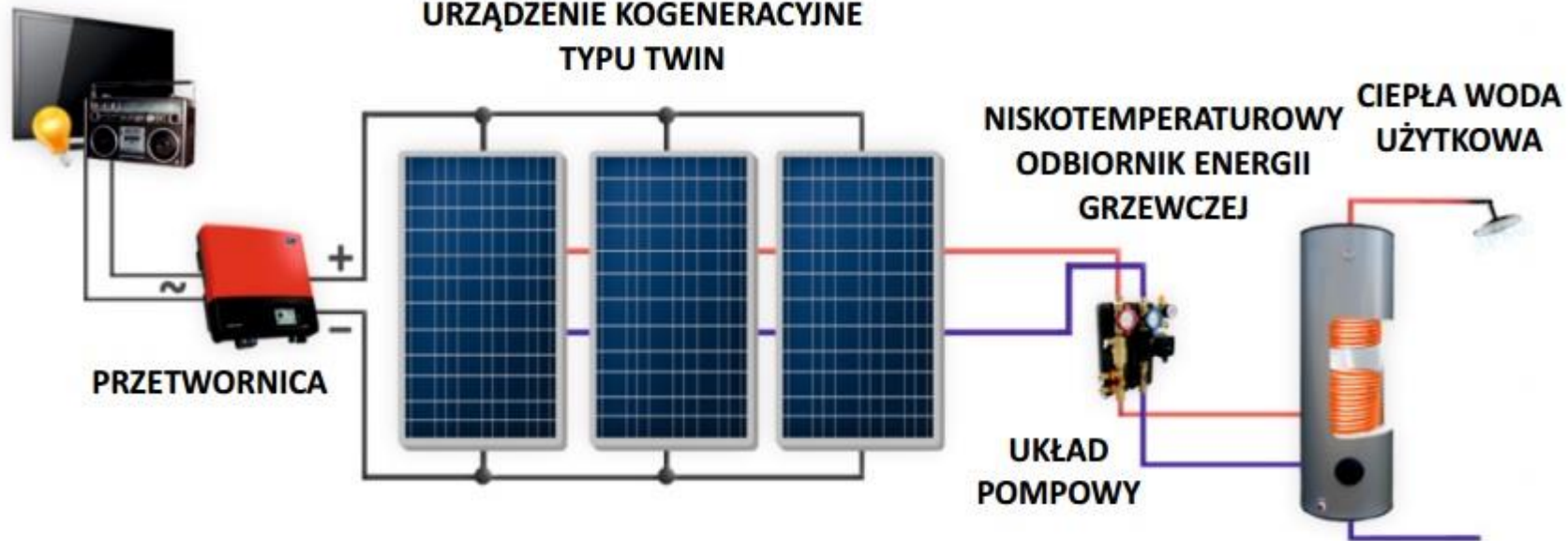
Źródło: www.skorut-solar.pl

J. TENETA Wykłady "Czyste energie i ochrona środowiska" AGH 2017

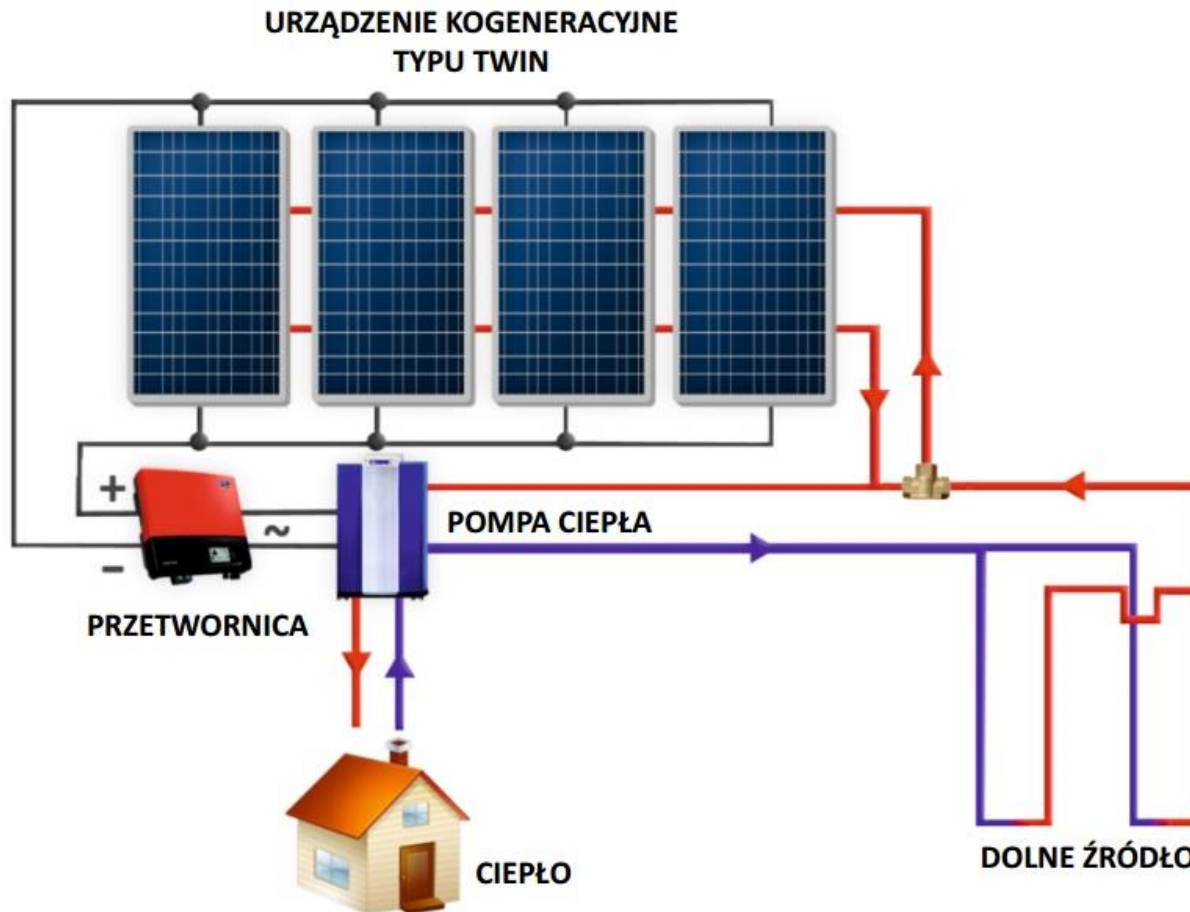
Moduł TWIN (PV + Termo)

ODBIORNIK ENERGII
ELEKTRYCZNEJ

URZĄDZENIE KOGENERACYJNE
TYPU TWIN

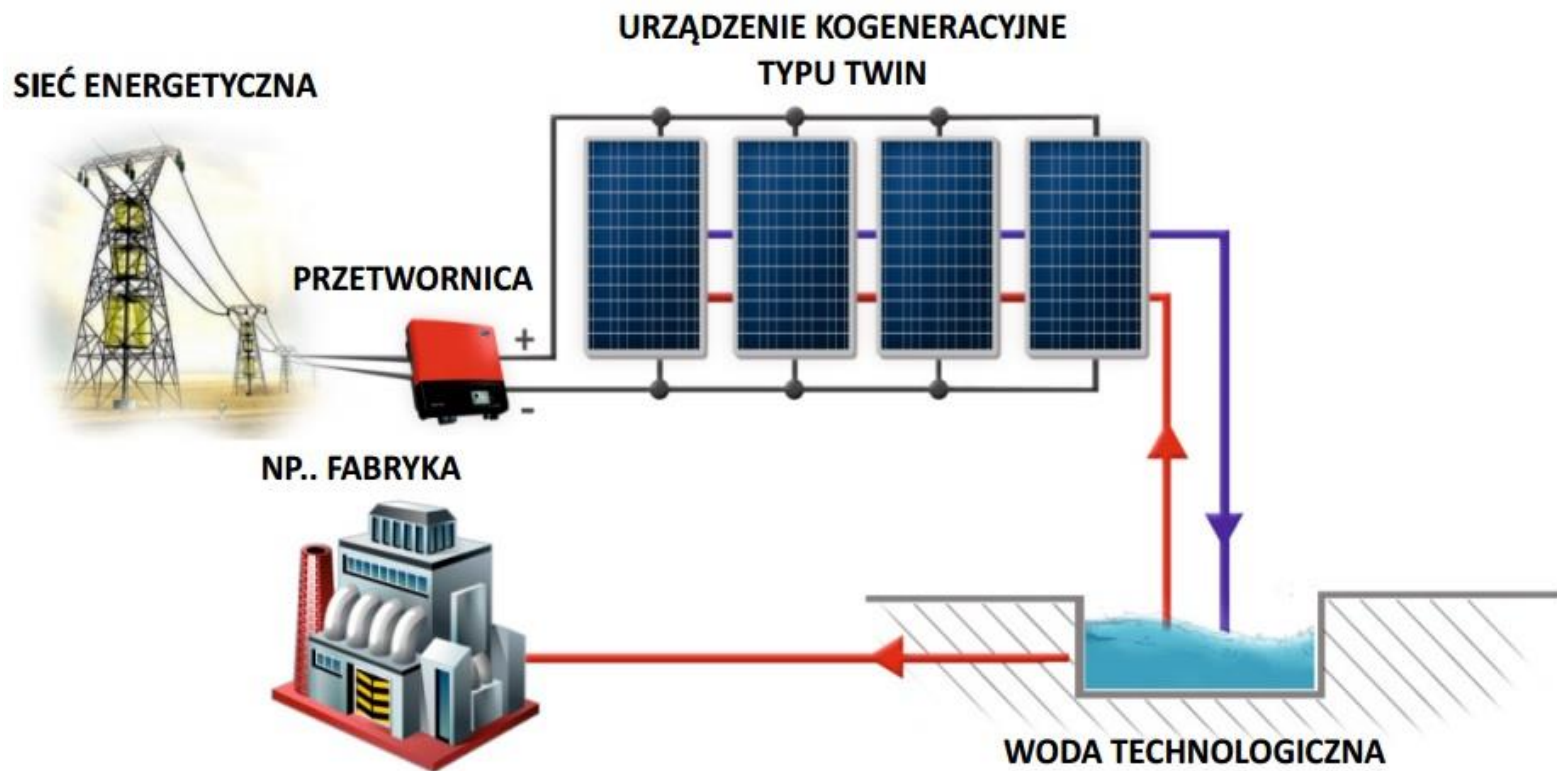


Moduł TWIN (PV + Termo)

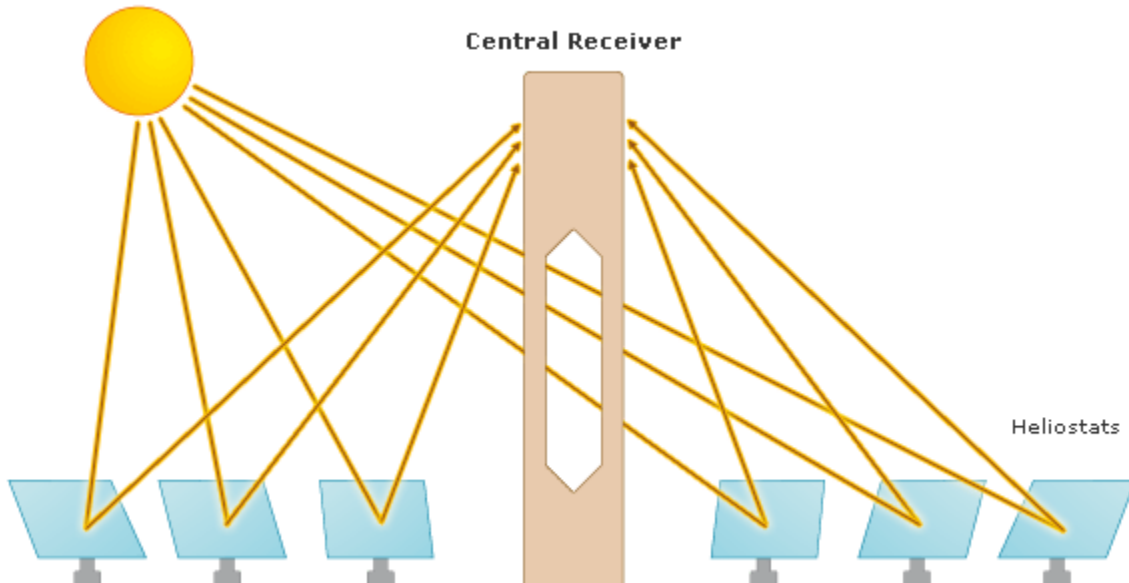


Źródło: www.skorut-solar.pl

Moduł TWIN (PV + Termo)



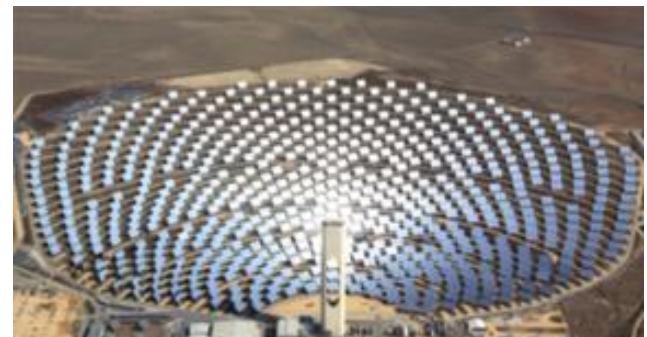
Solarna elektrownia termiczna



PS10 (11 MWe)

Solucar – Sevilla, Hiszpania

**624 heliostaty po 120m^2 każdy
wieża 115 m**



PS20 (20 MWe)

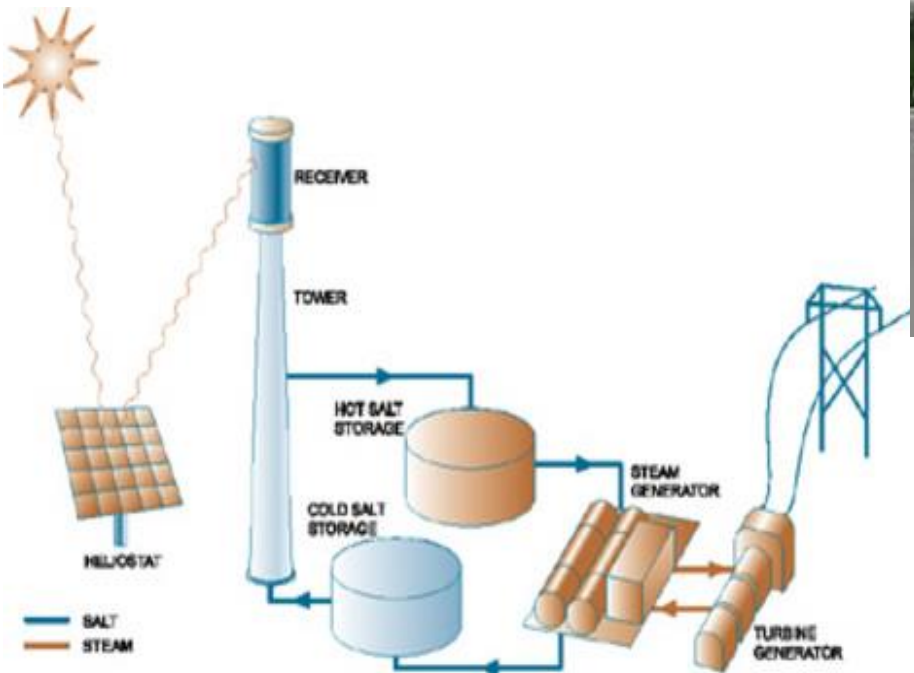
Solucar – Sevilla, Hiszpania

**1255 heliostatów po 120m^2 każdy
wieża 165 m**

Źródło: <http://www.abengoasolar.es>

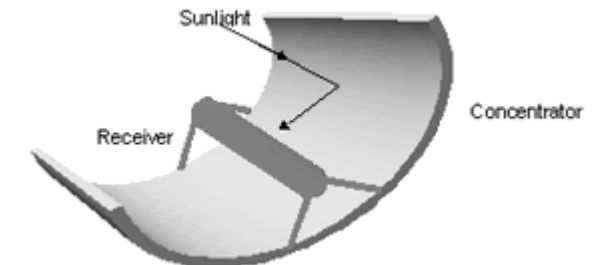
Solarna elektrownia termiczna (schemat)

Zdolność magazynowania pary wodnej na 30 minut pracy elektrowni



Źródło: <http://www.abengoasolar.es>

Solarna elektrownia termiczna



Źródło: <http://www.abengoasolar.es>

Solarna elektrownia termiczna + PV



**Pustynia Atacama
Comuna de María Elena,
Antofagasta Region, Chile**

**Atacama 1 – w trakcie budowy
110 MWe – wieża + heliostaty
100 MW - fotowoltaika**

Magazyn energii na 17,5 godziny

Źródło: <http://www.abengoasolar.es>



AGH

Fotowoltaika – co to jest?

???

Zjawisko fotowoltaiczne
(wewnętrzny efekt fotowoltaiczny) to wytwarzanie w ciele stałym **siły elektromotorycznej** (napięcia) pod wpływem **promieniowania świetlnego**

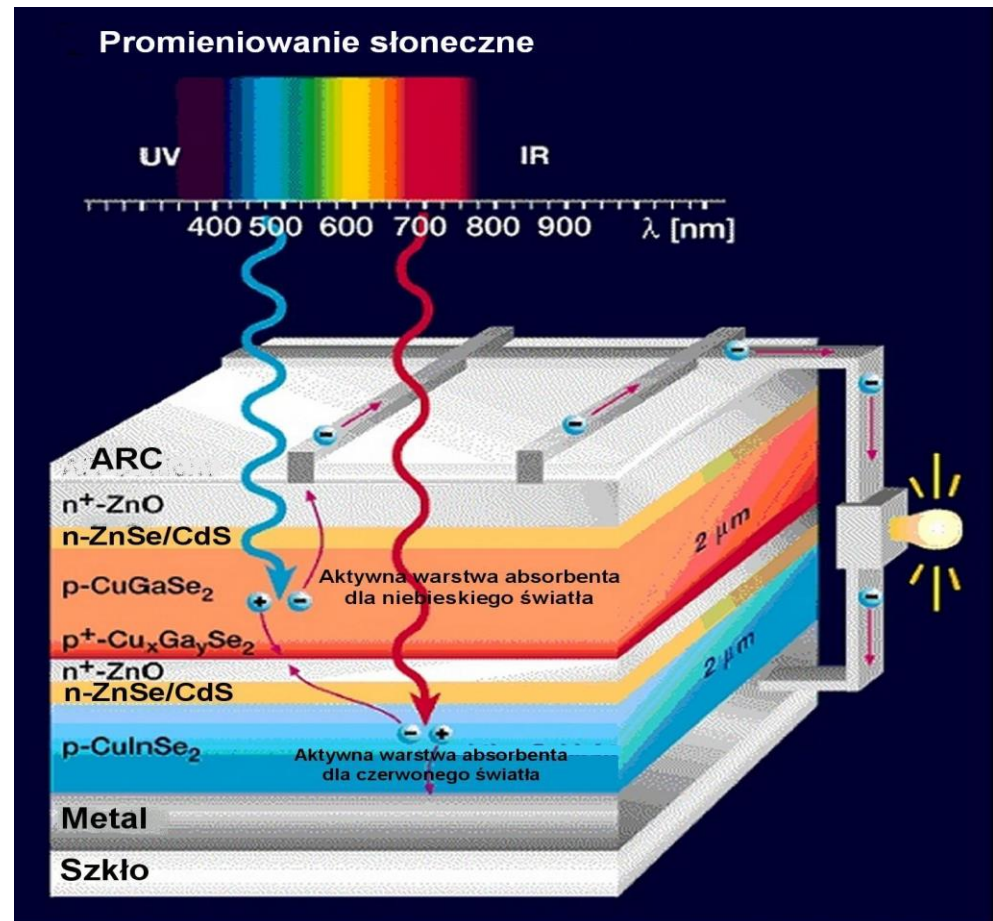
Antoni C. Becquerel
(1839)



źródło: wikipedia

Ogniwo fotowoltaiczne

- Oświetlone złącze półprzewodnikowe
- generujące energię w oparciu o wewnętrzne zjawisko fotowoltaiczne
- (generacja pary elektron-dziura gdy energia fotonu jest większa od szerokości pasma zabronionego)
- $\lambda_{\max} = hc/W_g$



Ogniwo fotowoltaiczne materiały

- Krzem
 - Monokrystaliczny
 - Multikrystaliczny
 - Cienkowarstwowy (amorficzny)
- Inne:
 - Arsenek galu GaAs
 - Tellurek kadmu CdTe

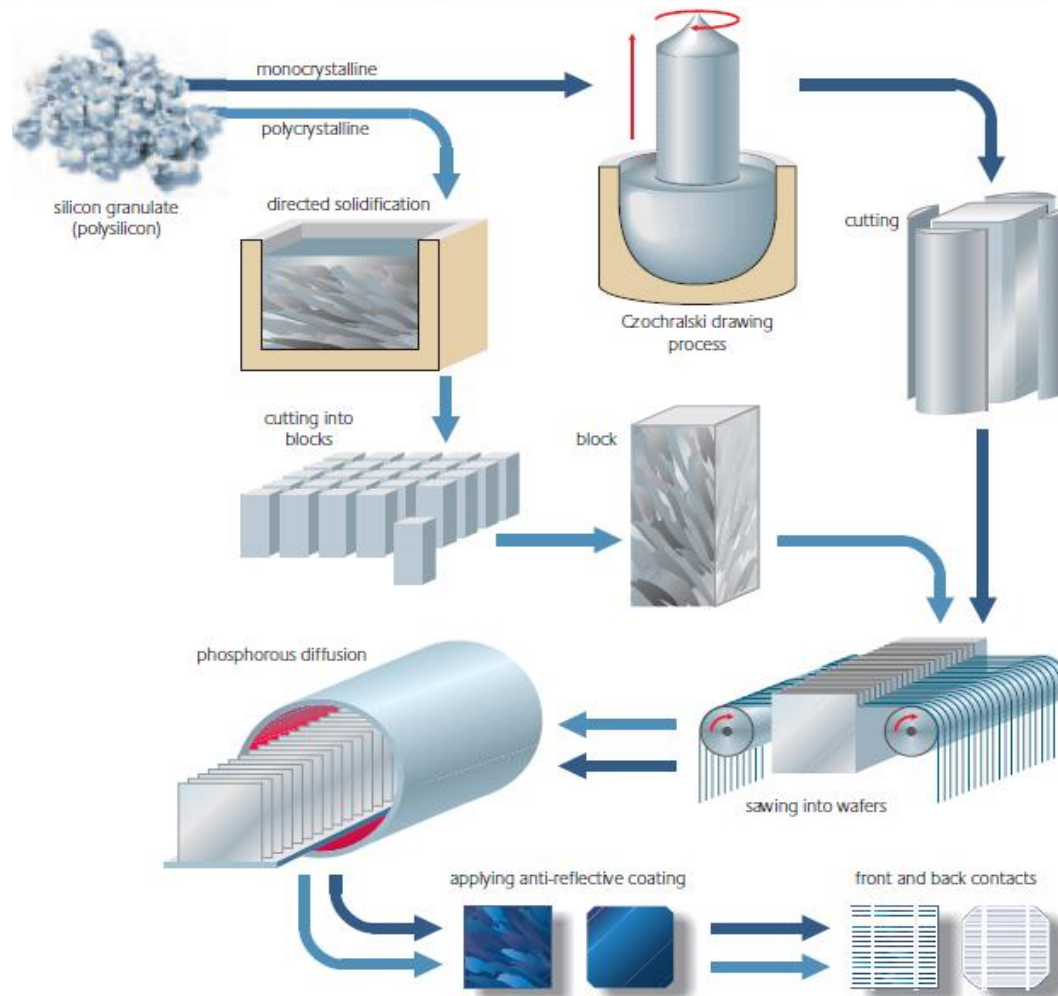
Si krystaliczny (c-Si i mc-Si) 90%
Si amorficzny 9%
GaAs i inne III-V
CuInSe₂ i pochodne 1%
CdTe

Materiał	Eg [eV]	η [%]
C-Si	1,15	26/24
A-Si:H	1,4-2,0	13,2
GaAs	1,4	27
Cu(In,Ga)Se ₂	1,11	21,7/16
CdTe	1,50	22,1/16

Produkcja monokrystalicznego fotoogniwa słonecznego

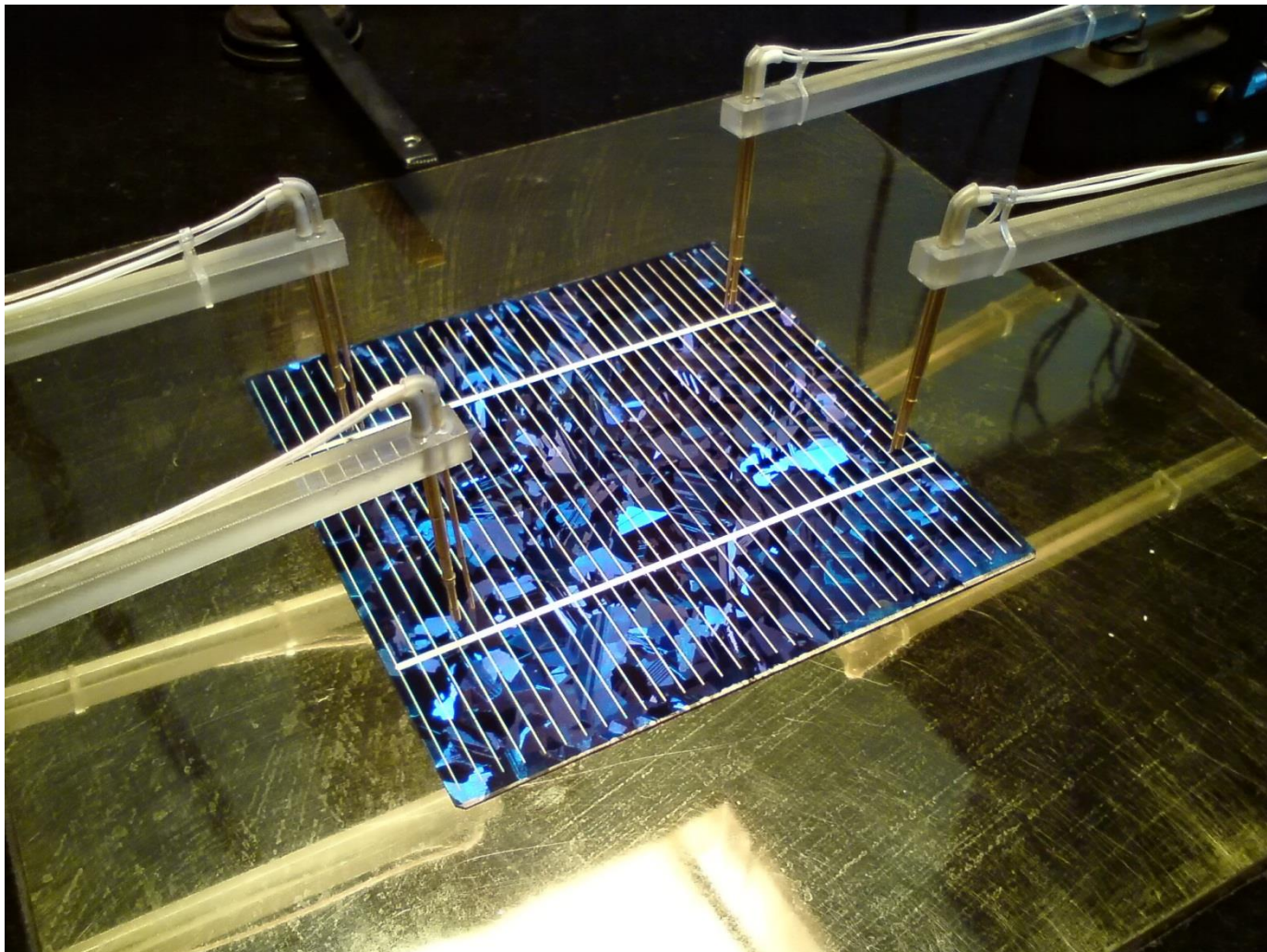
- Krzem metalurgiczny (polikryształ)
- Wyciąganie monokryształów
- Wycinanie z walca prostopadłościanu
- Cięcie na płytki 0.2 do 0.5mm
- Teksturyzacja powierzchni
- Dyfuzja fosforu
- Nanoszenie kontaktów i warstwy antyodblaskowej

Fazy procesu produkcyjnego fotoogniwa słonecznego

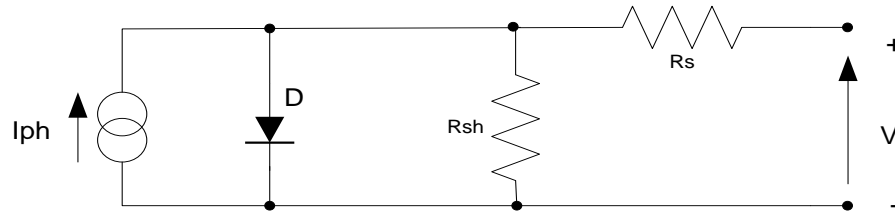


źródło : Marek Butkowski „Rynek technologii Słonecznych w Polsce”, prezentacja

Testowanie krzemowego polikrystalicznego ogniwa fotowoltaicznego na symulatorze Słońca



Model fizyczny ogniw fotowoltaiczego



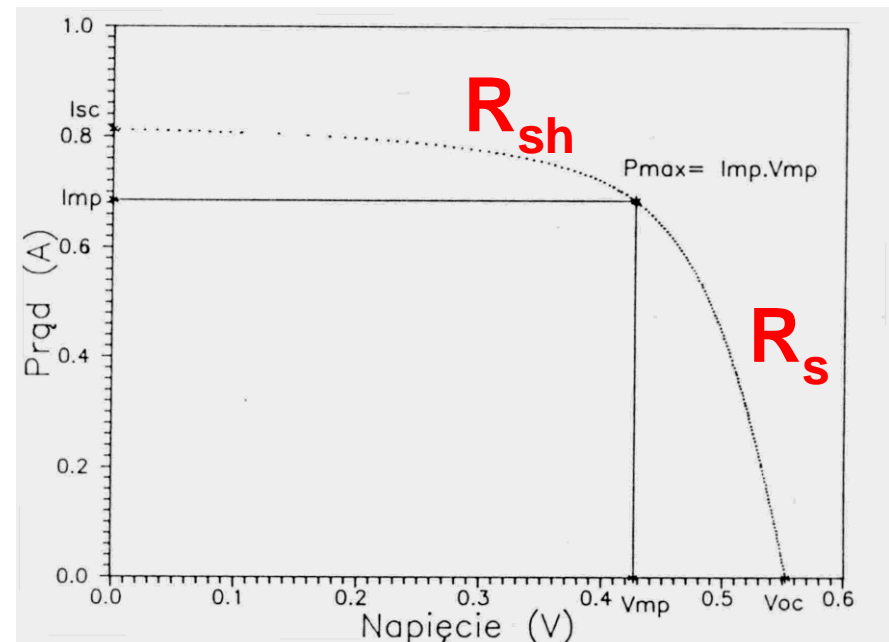
Gdzie:

D – symbolizuje złącze półprzewodnikowe

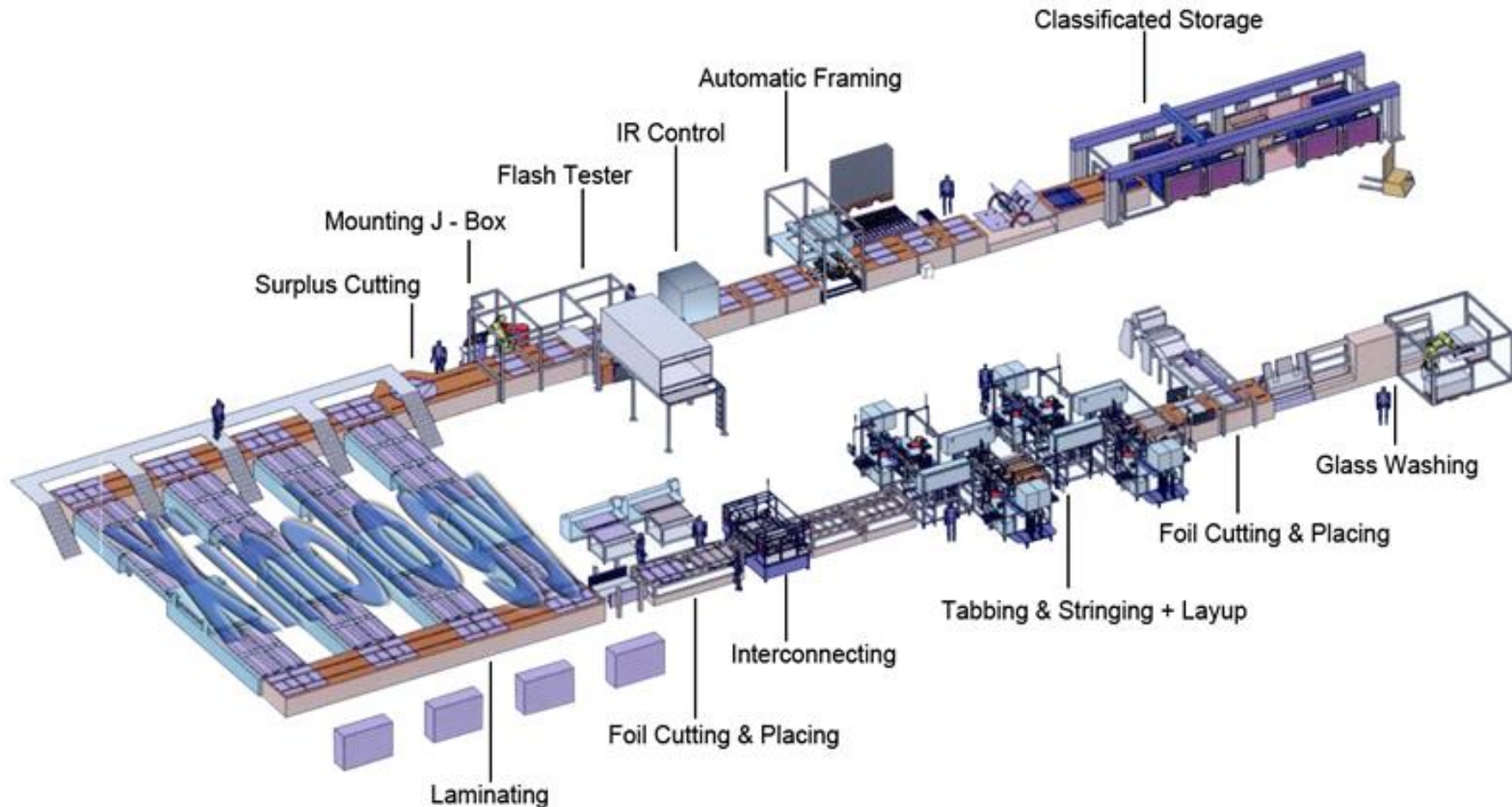
I_{ph} – oznacza fotoprąd generowany w złączu

R_{sh} – oznacza rezystancję upływności między elektrodami złącza (powinna mieć jak największą wartość)

R_s – oznacza rezystancję szeregową – czyli właściwie rezystancję kontaktów (powinna mieć jak najmniejszą wartość)



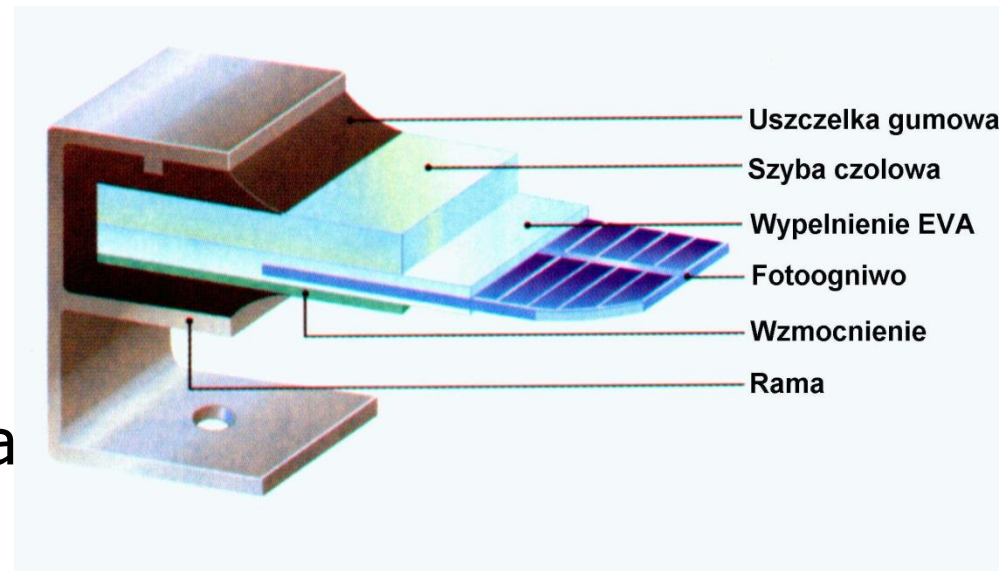
Schemat linii produkcyjnej



Źródło: <http://xinology.com>

Przekrój modułu fotowoltaicznego

- Odpowiednie połączenie pojedynczych komórek fotowoltaicznych w szeregi
- Masa wypełniająca
- Szyba przednia
- Tworzywo tylne
- Rama wzmacniająca





Dziękuję za uwagę !!!

**To już jest koniec
Bo nie ma już nic
Jesteście wolni
Możecie iść...**

